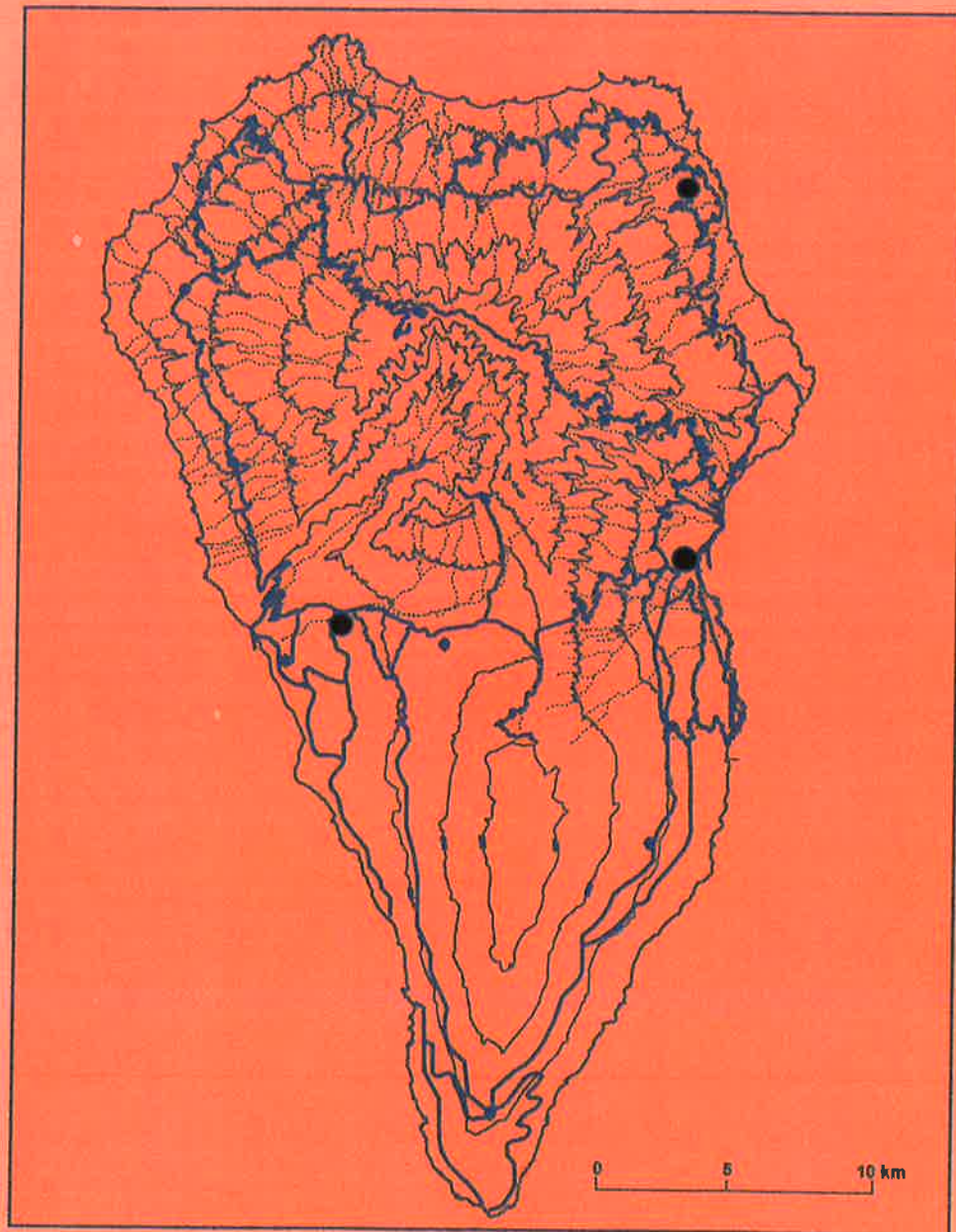


MAPA GEOLÓGICO DE ESPAÑA (MAGNA)



ALBUM DE FOTOGRAFÍAS

FOTOGRAFÍA	DESCRIPCIÓN	UTM	HOJA	MUESTRA PETROGRAFIA
Fotografia 1	Cabecera del Bco. de Los Hombres	2199/318585	1083-IV	157.-BASALTO OLIVINICO AUGITICO .-(LN) Fenocristales subidiomorfos de augita y de olivino algo oxidados en los bordes y cristales tabulares de plagioclasa sobre una matriz microcristalina intersertal.
Fotografia 2	Cabecera del Bco. de Franceses	2208/31863	1083-IV	80.- BASALTO OLIVINICO AUGITICO.- (LN&LP) Secciones idiomorfas basales de augita y cristales de olivino, algunos con procesos de corrosión, en una matriz intersertal.
Fotografia 3	Boca eruptiva del Llano del Banco (1949)	2182/31672	1085-IV	110.- BASALTO PIROXENICO OLIVINICO .-(LP) Fenocristales de augita zonada y de olivino idiomorfos, sobre una matriz intersertal de feldespatos.
Fotografia 4	Boca eruptiva de Hoyo Negro (1949)	2221/31648	1085-IV	
Fotografia 5	Dorsal de Cumbre Vieja, vista desde el este	2239/31619	1085-III-IV	62.- FONOLITA HAUYNICA MAFICA.- (LN) Fenocristales de plagioclasa maclada polisintéticamente, junto a un cristal de augita-egirínica y secciones basales de anfibol. Destacan algunas secciones euhédricas de haüyna .
Fotografia 6	Cauce alto-medio, Bco. Franceses	2190/31907	1083-II	220.- BASALTO OLIVINICO AUGITICO.- (LN) Fenocristales de olivinos con marcados procesos de oxidación y de augitas , sobre una matriz microcristalina que incluye microcristales de olivino oxidados.
Fotografia 7	Cabecera del Bco. de Las Grajas	2196/31865	1083-IV	157.- BASALTO OLIVINICO AUGITICO.- (LP) Fenocristales idio-subidiomorfos de augita y de olivino y cristales tabulares de plagioclasa sobre una matriz microcristalina algo fluidal.

Fotografía 8	Lago de lava del Duraznero (1949)	2224/31645	1085-III-IV	60.- BASALTO OLIVINICO AUGITICO.- (LN) Fenocristales subidiomorfos de olivino y augita, sobre una matriz donde destacan los microcristales tabulares de plagiocasa.
Fotografía 9	Vista azimutal de Mña. Cabrera y Mña. Del Faro	2216/31606	1085-III-IV	112.- TEFRITA MAFICA HAUYNICA.- (LN) Fenocristal de plagioclase, clinopiroxenos augíticos y numerosos cristales de anfíbol con bordes parcialmente reabsorbidos y microcristales de haüyna sobre una matriz hipocristalina fluidal.
Fotografía 10	Dorsal Cumbre Vieja, vista desde el sur, con el Volcán Martín y la boca de 1646	2224/31595	1085-III-IV	65.- BASALTO AUGITICO OLIVINICO.- (LP) Fenocristales idiomorfos de olivino y de augita maclada sobre una matriz máfica microcristalina algo vacuolar.
Fotografía 11	Frente de coladas del Birigoyo	2165/31694	1085-I	36.- BASALTO OLIVINICO AUGITICO .- (LP) Cristales de idio-subidiomorfos de olivino, en coexistencia con otros cristales de olivino con aureolas de reacción de clinopiroxenos. Tambien es visible un anfíbol reabsorbido con aureola de reacción de opacos.
Fotografía 12	Dorsal Cumbre Vieja, vista desde el este, con el grupo de El Caldero y colada del Nambroque	2244/31675	1085-II 1085-III-IV	71.- FONOLITA HAUYNICA MAFICA .- (LN) Fenocristales subidiomorfos de anfíbol que incluyen cristales de egirina y numerosas secciones de ambos minerales máficos y opacos, así como de cristales prismáticos de plagioclase y alotriomorfos de haüyna en una matriz pilotáxica fluidal.
Fotografía 13	Cabecera del Bco. de Jieque	2151/31826	1083-III	236.- BASALTO AUGITICO .- (LP) Xenocristal de anfíbol y clinopiroxenos , en una matriz microcristalina con vacuolas con desarrollos de ceolitas.

Fotografia 14	Cantil costero del Teneguía (1971)	2207/31530	1087-I/II	5.- FONOLITA.- (LN) Cristales idio-subidiomorfos de augita con ehirina de hábito prismático y opacos dispersos, en una matriz traquítica que engloba microcristales de feldespato y clinopiroxenos.
Fotografia 15	Cantil de La Fajana-Las Indias, con el Volcán San Antonio al fondo	2197/31561	1087-I/II	
Fotografía 16	Mña. De La Negra, costa de Puntagorda	2074/31844	1083-III	209.- BASALTO AUGITICO OLIVINICO.- (LN) Fenocristal idiomorfo de olivino con bordes de serpentinización, y cristales subidiomorfos de augita y opacos, sobre una matriz microcristalina intersertal.
Fotografia 17	Bco. de Las Angustias (Dos Aguas)	2187/31798		
Fotografía 18	Pared de La Caldera y Mña. Quemada	2238/31743	1085-II	
Fotografia 19	Pared este del Bco. de Gallegos	2241/31898	1083-II	215.- BASALTO OLIVINICO AUGITICO.- (LP) Fenocristales idio-subidiomorfos de augita maclados y algunos olivinos, que coexisten con cristales xenomorfos de olivino microfracturados, sobre una matriz microcristalina.
Fotografia 20	Canal lávico del Llano del Banco (1949)	2220/31371	1085-IV	
Fotografía 21	Desembocadura del Bco. de Las Angustias	2120/31729	1085-I	44.- BASALTO PIROXENICO OLIVINICO.- (LN&LP) Fenocristal idiomorfo de augita parda y cristales idiomorfos de olivino sobre una matriz hipocristalina, con incipientes microlitos de plagioclasa.
Fotografia 22	Cono del Teneguía (1971)	2207/31532	1087 I-II	67.- ACUMULADO ANFIBOLICO PIROXENICO.- (LN&LP) Fenocristales de augita y de anfibol en un entramado pan-alotriomorfo, englobando minerales opacos.
Fotografia 23	Mña. Quemada	2231/31694	1085-II	

Fotografía 24	Coladas del Nambroque	2236/31644	1085 III/IV	61.- FONOLITA HAUYNICA MAFICA.- (LN) Cristales idiomorfos de augita con egirina y fenocristales de anfibol en diferentes secciones de subidiomorfos a alotriomorfos sobre una matriz pilotáxica que engloba pequeños agregados de haüyna y algunos opacos.
Fotografia 25	Jedey (585)	2195/31653	1085 III/IV	280.- TEFRITA HAUYNICA MAFICA.- (LN) Fenocristales prismáticos de feldespato y secciones poligonales de haüyna, así como cristales de clinopiroxeno y anfibol algo reabsorbidos, sobre una matriz microhipocrystalina en la que destacan los microcristales tabulares de feldespato alcalino.
Fotografía 26	Pared norte de La Caldera	2197/31831	1083 IV	96.- GABRO PIROXENICO OLIVINICO.- (LP) Fenocristales de olivino parcialmente serpentinizados y clinopiroxenos augíticos, con intercrecimientos de plagioclásas macladas en secciones tabulares.
Fotografia 27	Sedimenros arcillosos de El Time (distales)	2124/31731	1085-I	252.- ARCILLA LITO-ARENITA VOLCANICA.- (LN) Matriz isotropa arcillosa que engloba escasos fragmentos volcánicos subredondeados y numerosos microcristales de clinopiroxeno, opacos y minerales oxidados.
Fotografia 28	Cráter del San Antonio	2210/31541	1087 I/II	68.- BASALTO OLIVINICO AUGITICO.- (LN) Fenocristales subidiomorfos de olivino y clinopiroxenos zonados sobre una matriz heterocristalina de vitrea-hipocrystalina vacuolar
Fotografía 29	Sedimentos de El Time y lavas intercaladas del Bejenado	2136/31751	1085-I	273.- BASALTO AUGITICO OLIVINICO.- (LP) Fenocristales idiomorfos de olivino y de augita microzonada, y minerales opacos sobre una matriz hipocrystalina casi vítreo, en la que se observan escasos microcristales.
Fotografia 30	Coladas del teneguía (1971)	2202731538	1087 I/II	120.- BASALTO AUGITICO OLIVINICO.- (LN) Fenocristales de augita idiomorfos microzonados sobre una matriz hipocrystalina.
Fotografia 31	Delta lávico de 1949	2144/31670	1085 III/IV	
Fotografia 32	Coladas de 1949	2205/31672	1085 III/IV	110.- BASALTO PIROXENICO

				OLIVINICO .- (LN) Fenocristales de augita zonada con núcleos egirínicos y de olivino subidiomorfos, sobre una matriz intersertal de feldespatos.
Fotografía 33	Manantiales de Marcos y Cordero	2336/31855	1083 - IV	167.- BASALTO OLIVINICO PIROXENICO.- (LP) Fenocristales subidiomorfos de olivino y de augita parda maclada en secciones prismáticas aisladas o formando agregados, sobre una matriz microcristalina en la que destacan microcristales de olivino oxidados.
Fotografía 34	Panorámica de Cumbre Vieja y El Bejenado desde el borde de La Caldera	2193/31849	1083 - IV	224.- DIQUE BASALTO.- (LN) Micro-fenocristales de augitas, olivinos y minerales opacos sobre una matriz feldespática.
Fotografía 35	Hoyo Negro (1949)	2222/31648		
Fotografía 36	El Caletón, costa de La Caldereta	2277/31610		
Fotografía 37	Conos del Valle de Aridane	2145/31710		10.- BASALTO PIROXENICO OLIVINICO.- (LN) Fenocristal subidiomorfo de augita y minerales opacos en un matriz microcristalina algo fluidal.
Fotografía 38	Bco. de Las Angustias	2155/31761	1085 - I	95.- BASALTO AUGITICO PLAGIOCLASICO.- (LN) Fenocristales de augita y plagioclasa albitizada, en una matriz microfeldespática-piroxénica con rellenos de cristales de analcima.

Fotografía 39	Bco. de Las Angustias, zona de La Viña	2155/31761	1085 - I	177 (dique) .- BASALTO AUGITICO.- (LN) Microagregado piroxénico-feldespático con minerales opacos y láminillas de clorita. Vacuola rellena de carbonatos.
Fotografía 40	Cantera de áridos, relleno del Bco. del Riachuelo	2203/31734		
Fotografía 41	Sedimentos de El Time	2136/31751	1085-I	258.- SEDIMENTO VOLCANOCLÁSTICO
Fotografía 42	La Caldereta	2290/31755	1085-II	222.- BASALTO AUGITICO OLIVINICO.- (LN&LP) Fenocristal subidiomorfo aislado de olivino y algunos cristales de clinopiroxeno sobre una matriz microcristalina que engloba microcristales de olivino oxidados.
Fotografía 43	La Fajana de Barlovento	2284/31936	1083-II	218.- BASALTO AUGITICO OLIVINICO.- (LN&LP) Fenocristales idiomorfos de augita y

				alotriomorfo de olivino sobre una matriz máfica microcristalina con opacos dispersos.
Fotografia 44	Cantil costero de la desembocadura del Bco. de Nogales	2317/31851	1083-IV	124.- BASALTO PIROXENICO AFIRICO.- (LN) Escasos mesocristales de clinopiroxenos y opacos sobre una matriz traquitoide fluidal, constituida por listoncillos de feldespato, clinopiroxenos y opacos puntuales.
Fotografia 45	Cantil costero de Juan Adalid	2167/31946	1083-I	160.- BASALTO AUGITICO OLIVINICO.- (LN) Fenocristales idio-subidiomorfos de olivino y opacos sobre una matriz hipocristalina máfica con escasos microlitos de plagioclasa.
Fotografia 46	Punta de Juan Adalid	2163/31954	1083-I	248.- BASALTO OLIVINICO PIROXENICO.- (LN) Micro-fenocristales alotriomorfos de olivino y clinopiroxenos, y algunos minerales opacos en una matriz hipo-microcristalina vacuolar.
Fotografia 47	Cabecera del Bco. de Franceses	2208/31853	1083.IV	
Fotografia 48	Cabecera del Bco. de Gallegos	2216/31861	1083-II	203.- BASALTO AUGITICO OLIVINICO .- (LP) Fenocristal idiomorfo de augita y cristales alotriomorfos de olivino sobre una matriz máfica hipocristalina.

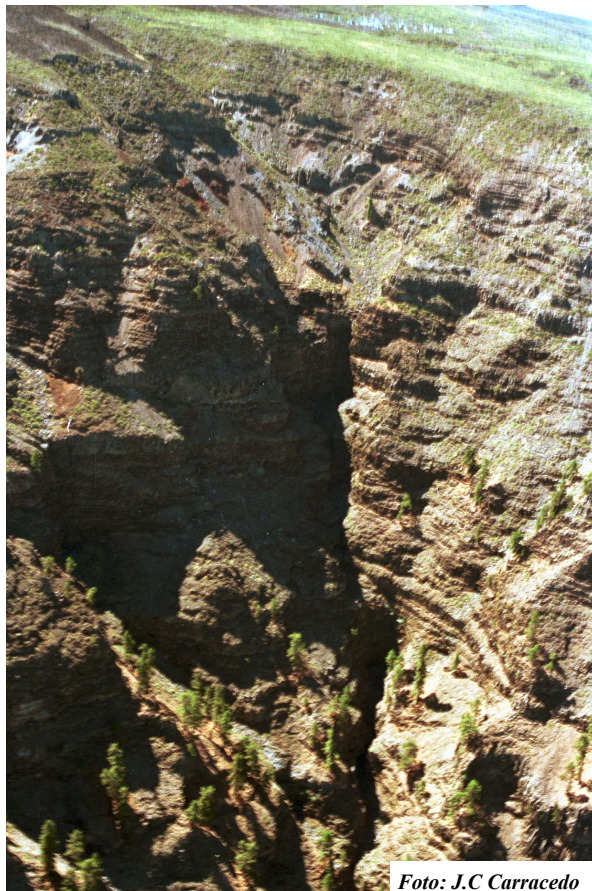


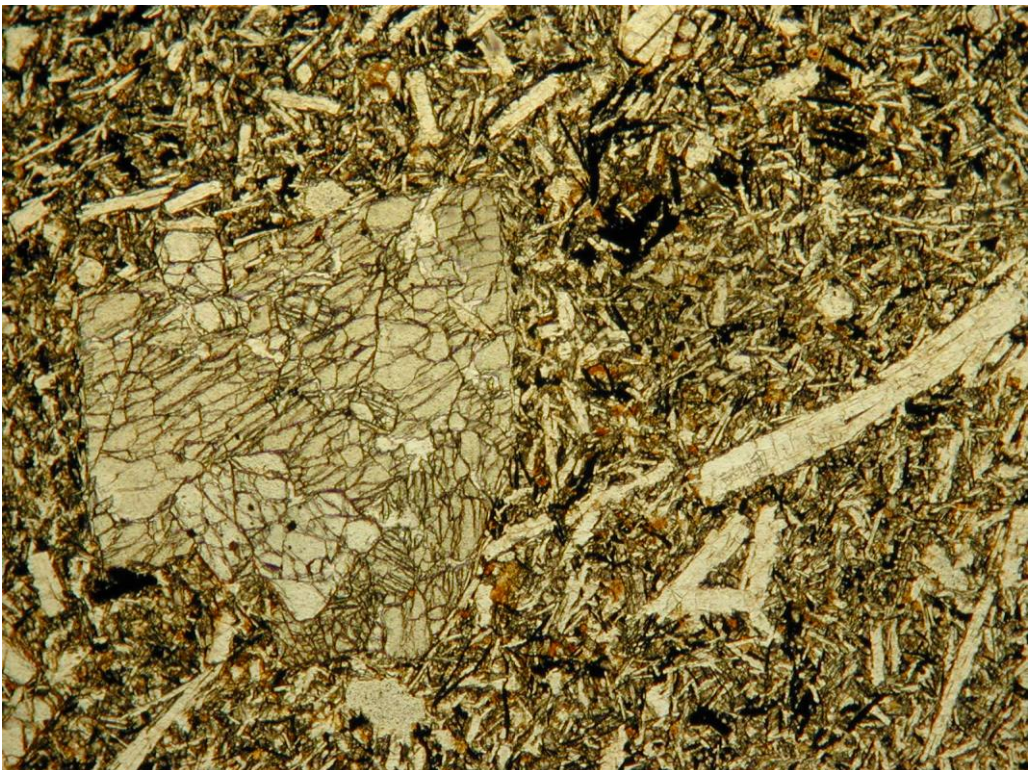
Foto: J.C Carracedo

FOTOGRAFÍA N° 1

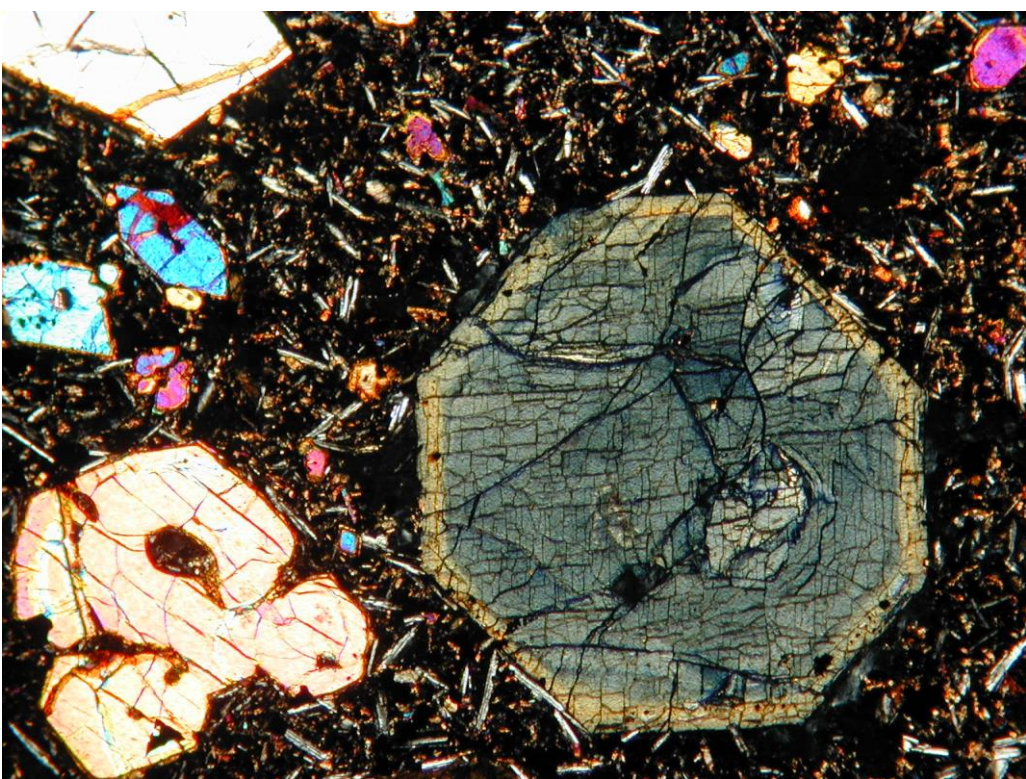
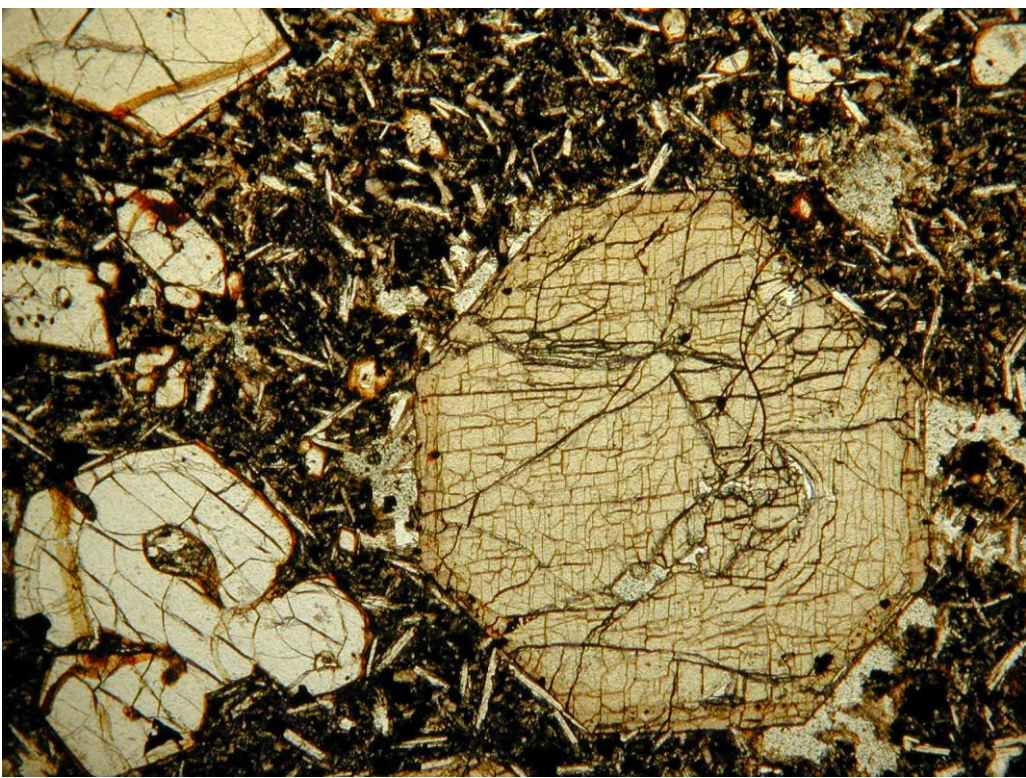


Foto: J.C Carracedo

FOTOGRAFÍA N° 2



Fotografías petrografía 157 A y B: basalto olivínico augítico



Fotografías petrografía 80 A y B: basalto olivínico augítico



Foto: J.C Carracedo

FOTOGRAFÍA N° 3



Foto: J.C Carracedo

FOTOGRAFÍA N° 4



Fotografías petrografía 110 A y B: basalto piroxénico olivínico

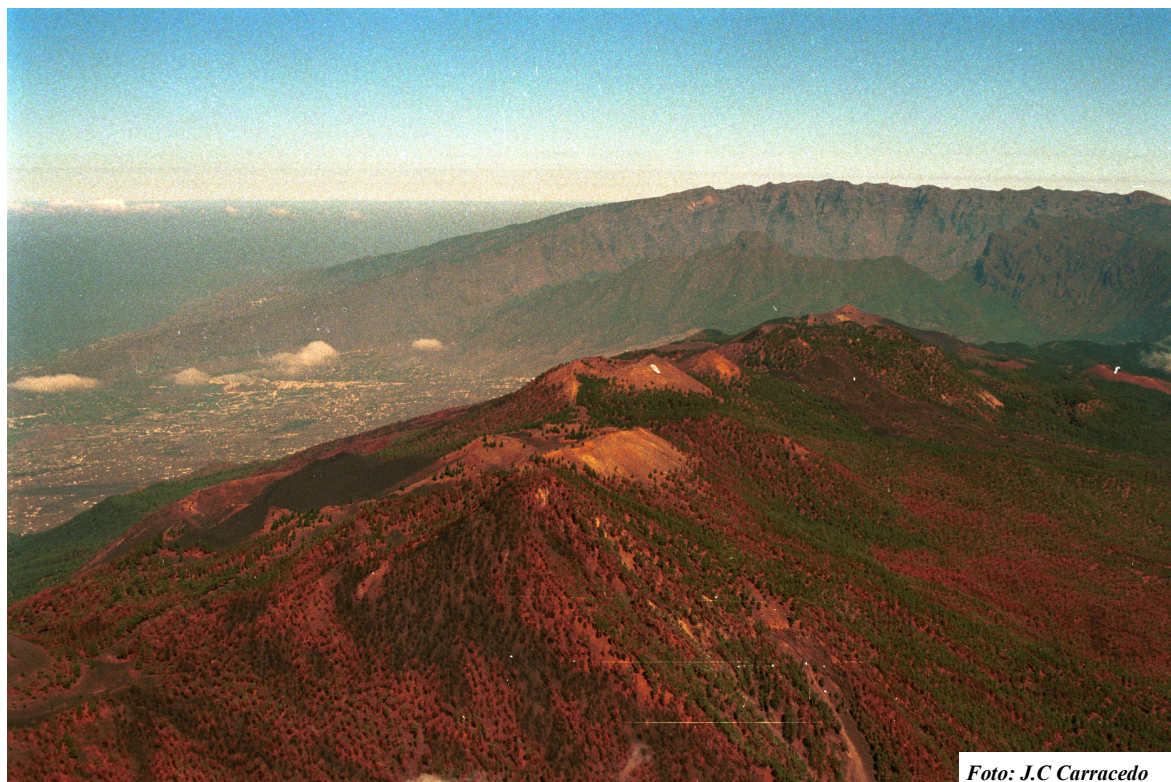


Foto: J.C Carracedo

FOTOGRAFÍA N° 5

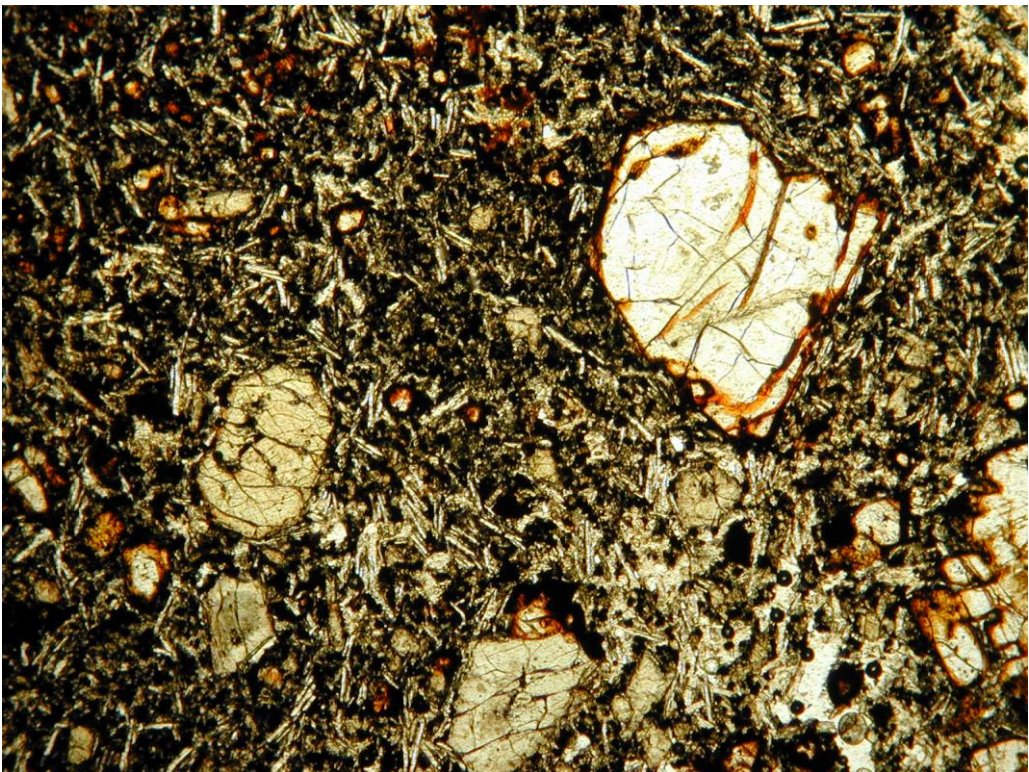


Foto: J.C Carracedo

FOTOGRAFÍA N° 6



Fotografías petrografía 62 A y B: Fonolita hauynica máfica



Fotografías petrografía 220 A y B: basalto olivínico augítico

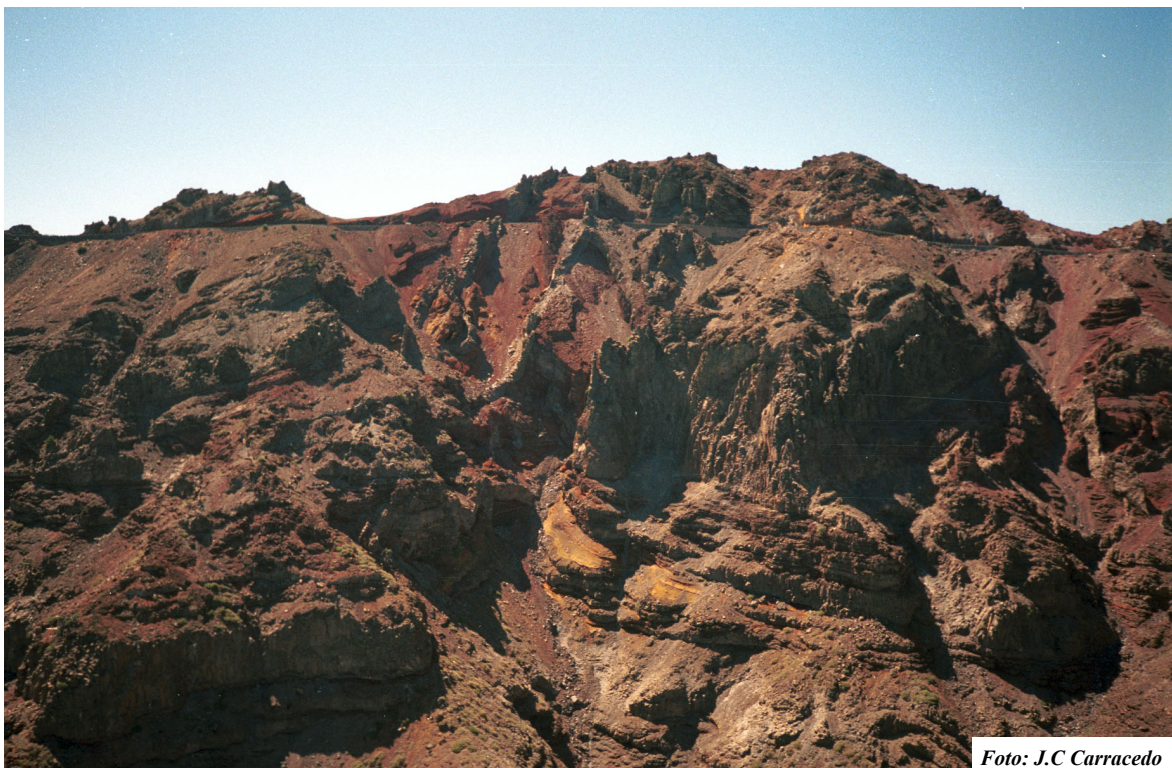


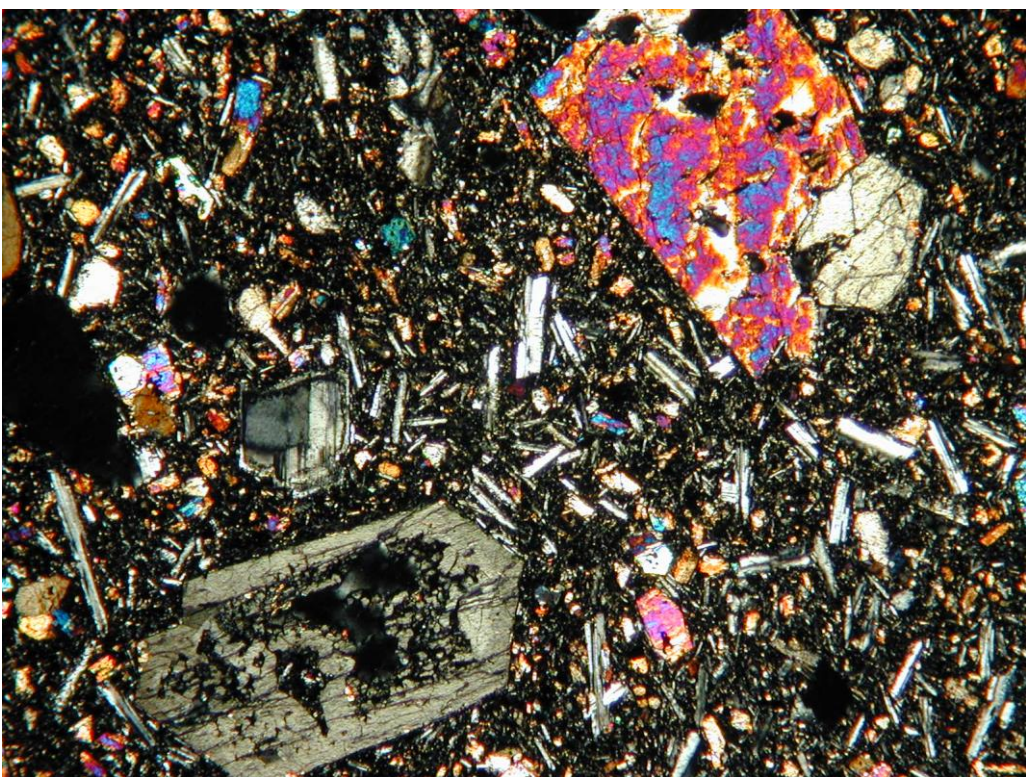
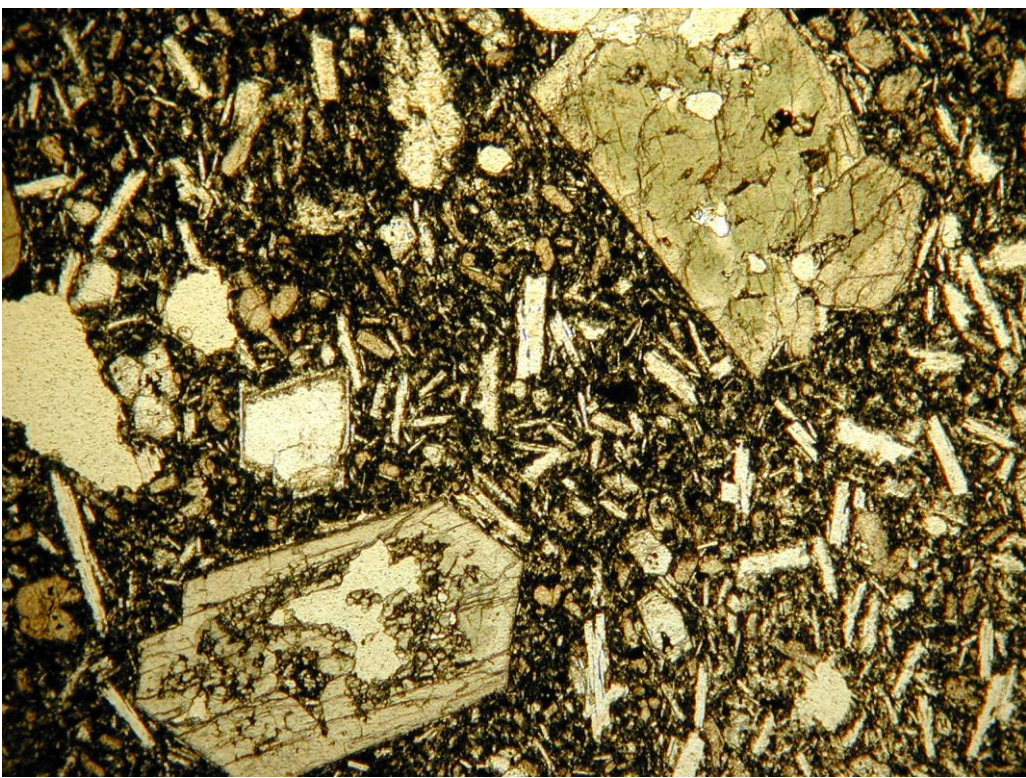
Foto: J.C Carracedo

FOTOGRAFÍA N° 7



Foto: J.C Carracedo

FOTOGRAFÍA N° 8



Fotografías petrografía 60 A y B: basalto olivínico augítico



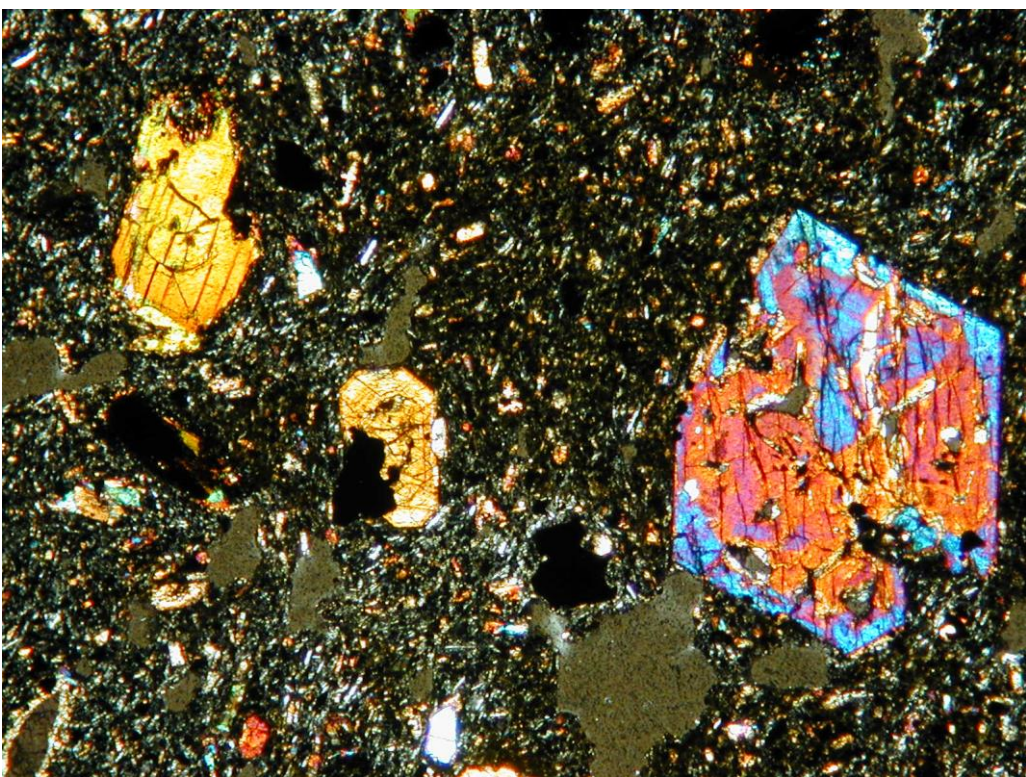
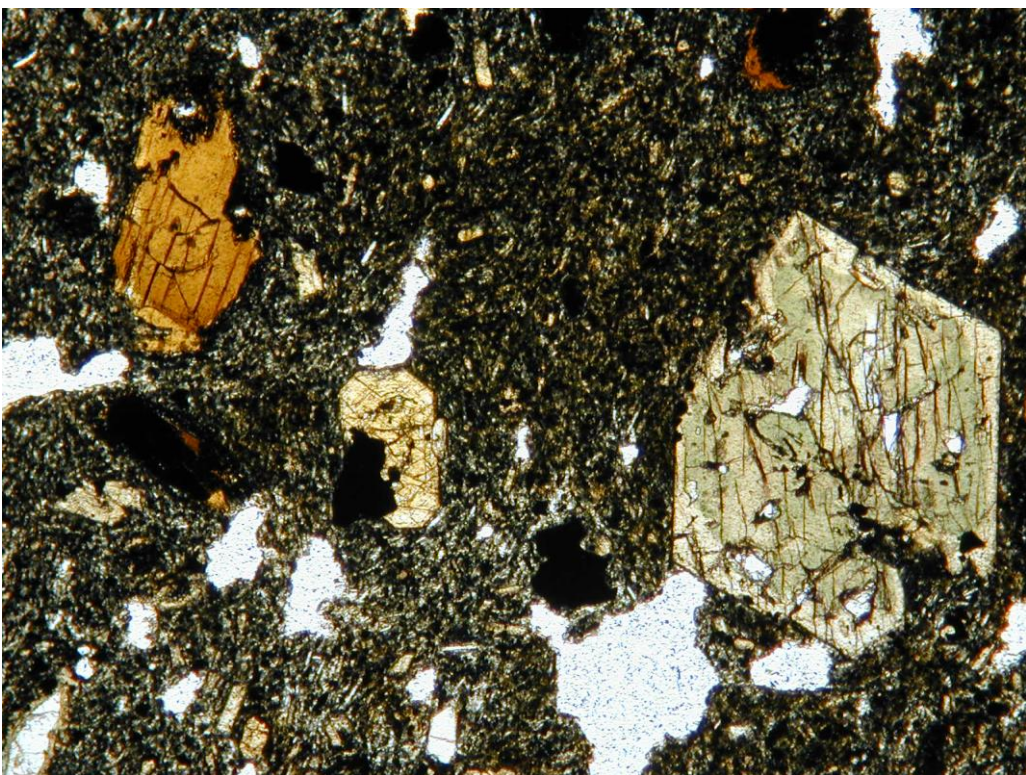
Foto: J.C Carracedo

FOTOGRAFÍA N° 9

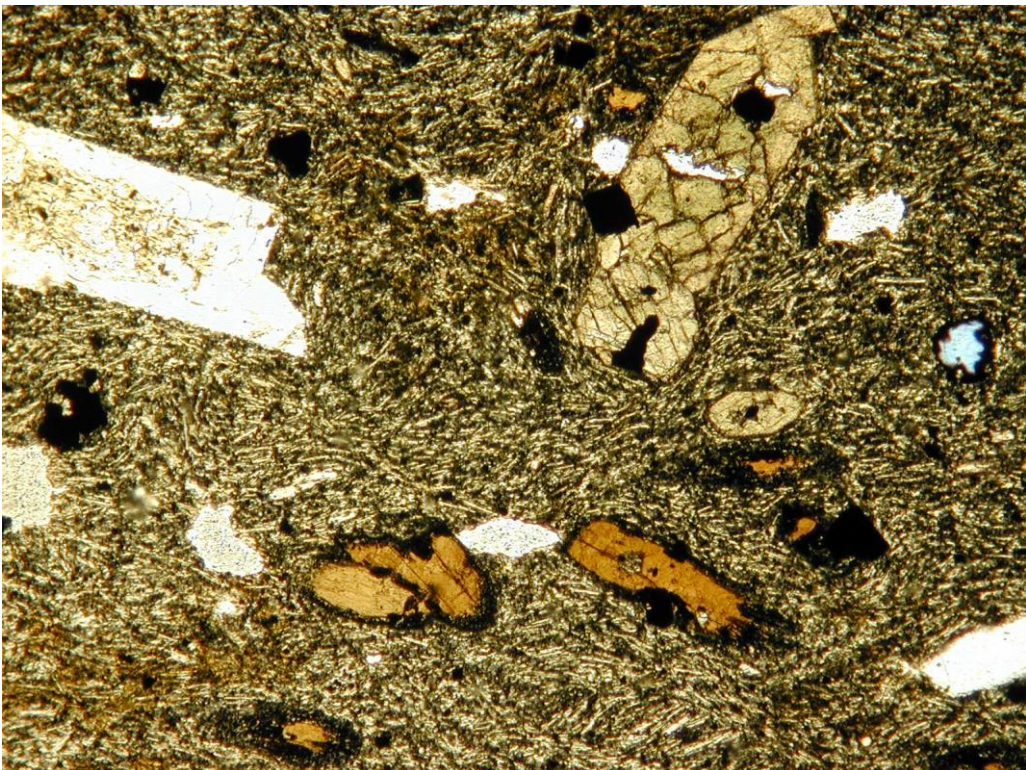


Foto: J.C Carracedo

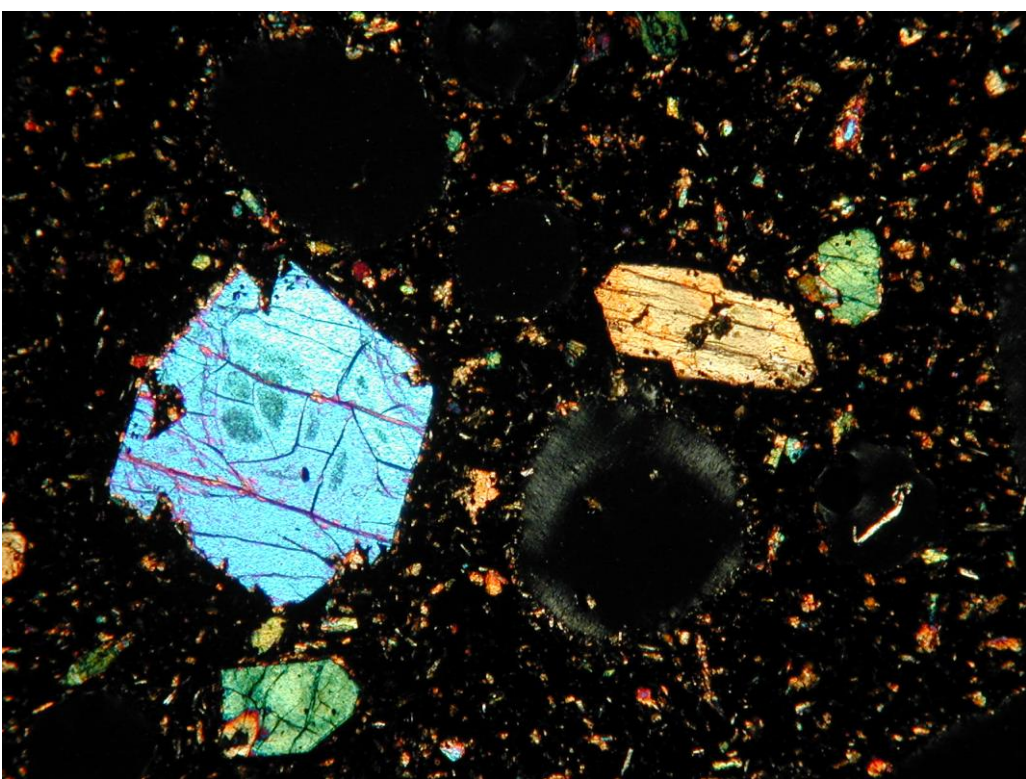
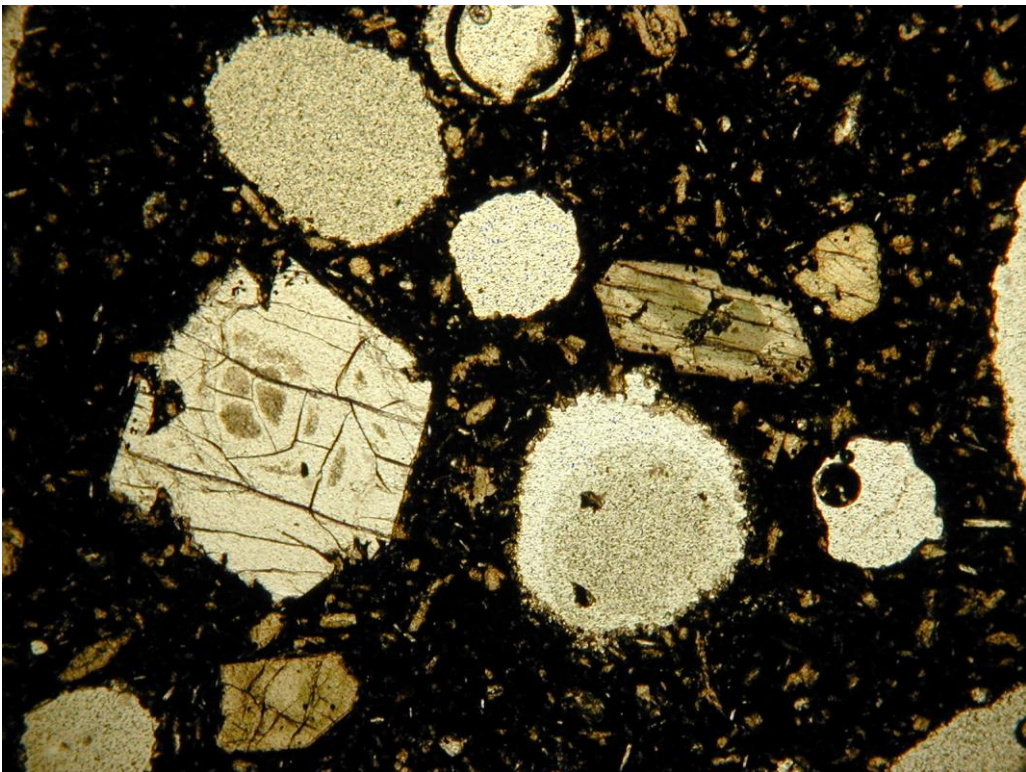
FOTOGRAFÍA N° 10



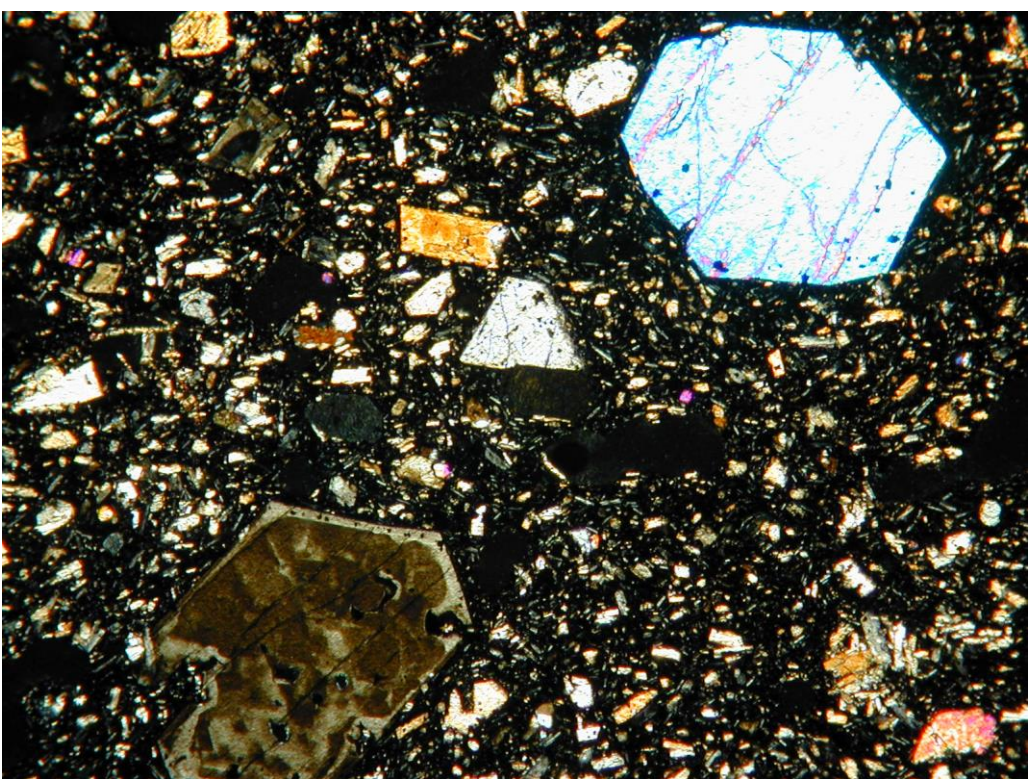
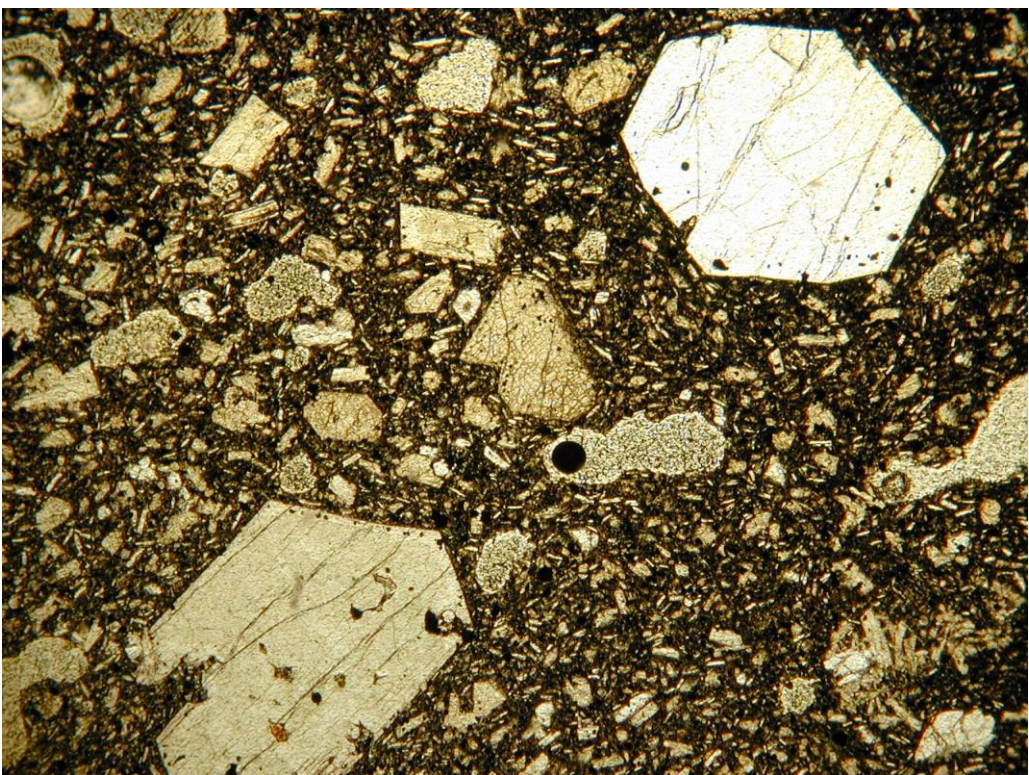
Fotografías petrografía 111 A y B: basalto piroxénico anfibólico



Fotografías petrografía 112 A y B: Trefita hauynica máfica



Fotografías petrografía 64 A y B: basalto piroxénico olivínico



Fotografías petrografía 65 A y B: basalto olivínico piroxénico



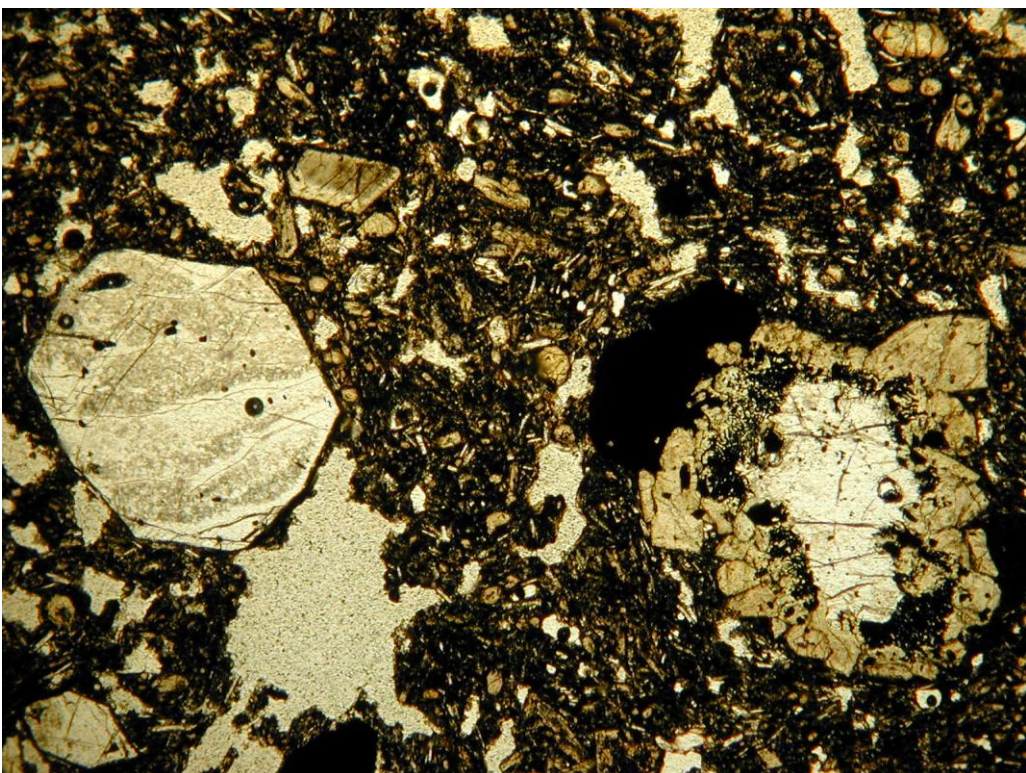
Foto: J.C Carracedo

FOTOGRAFÍA N° 11

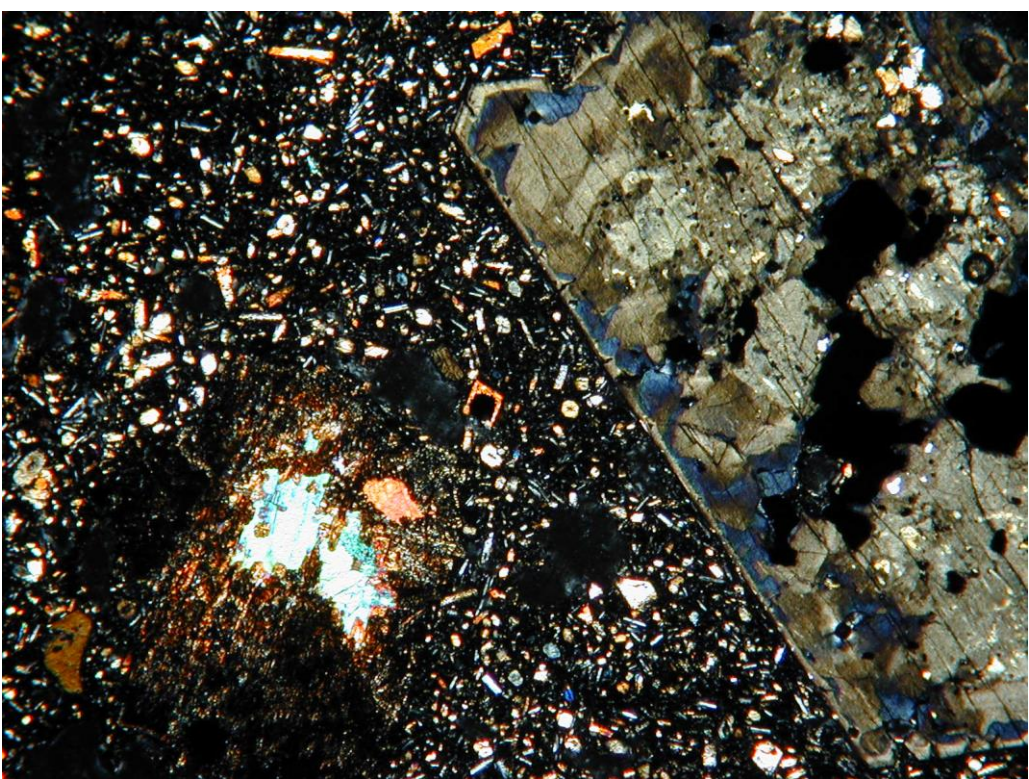
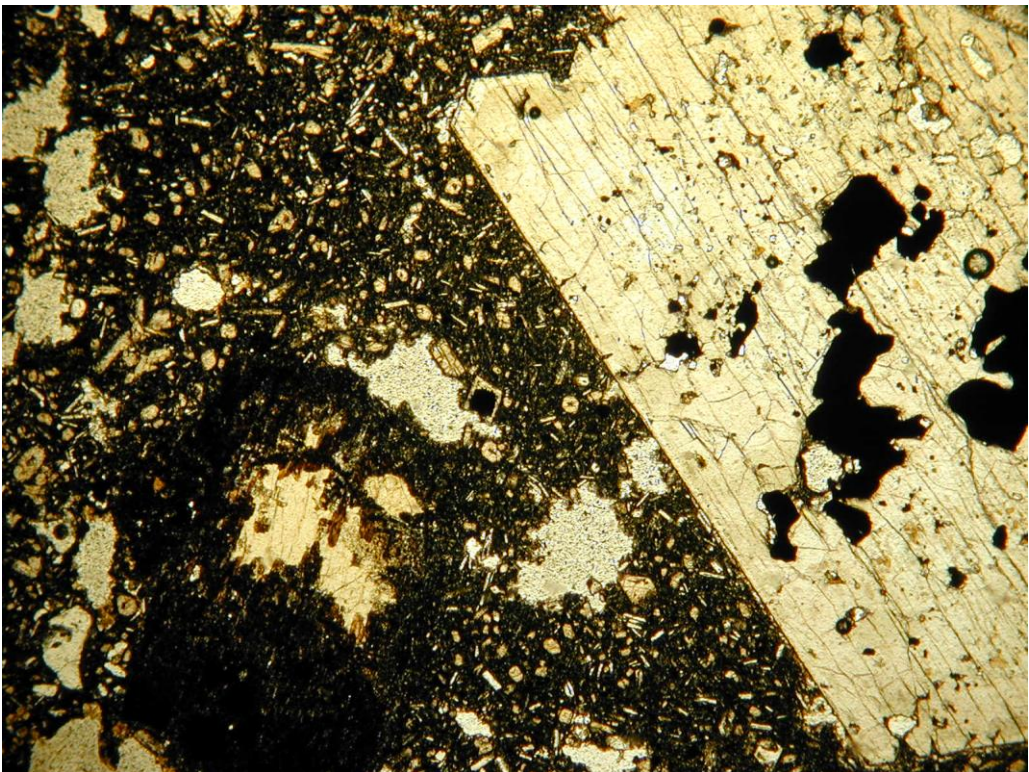


Foto: J.C Carracedo

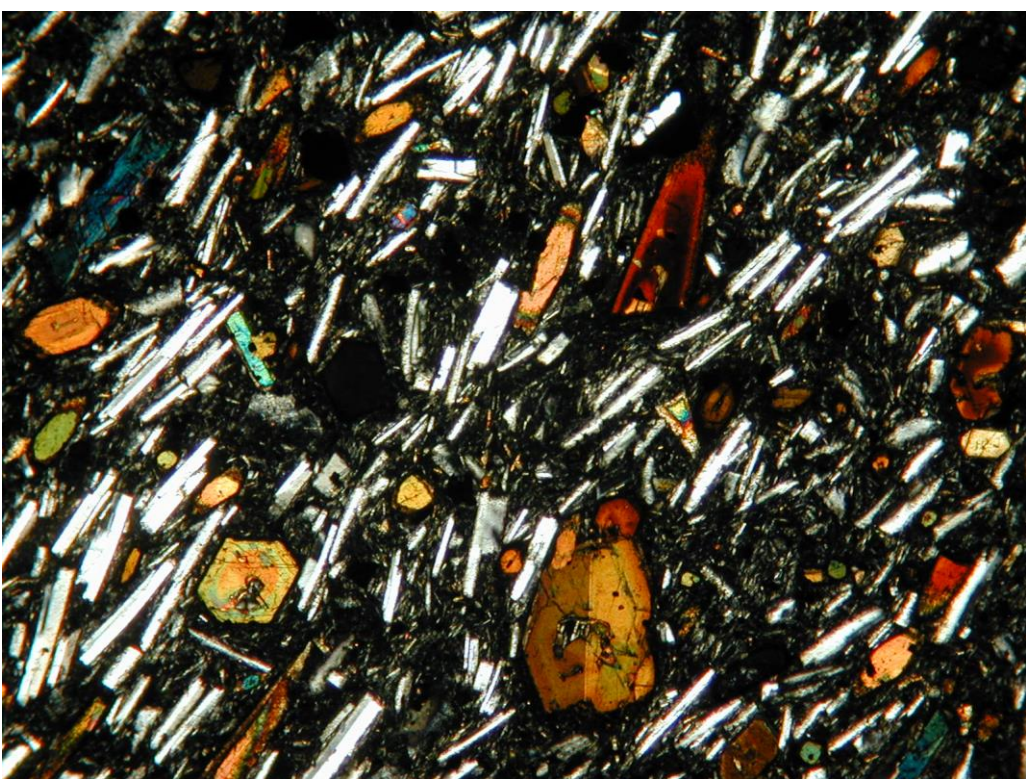
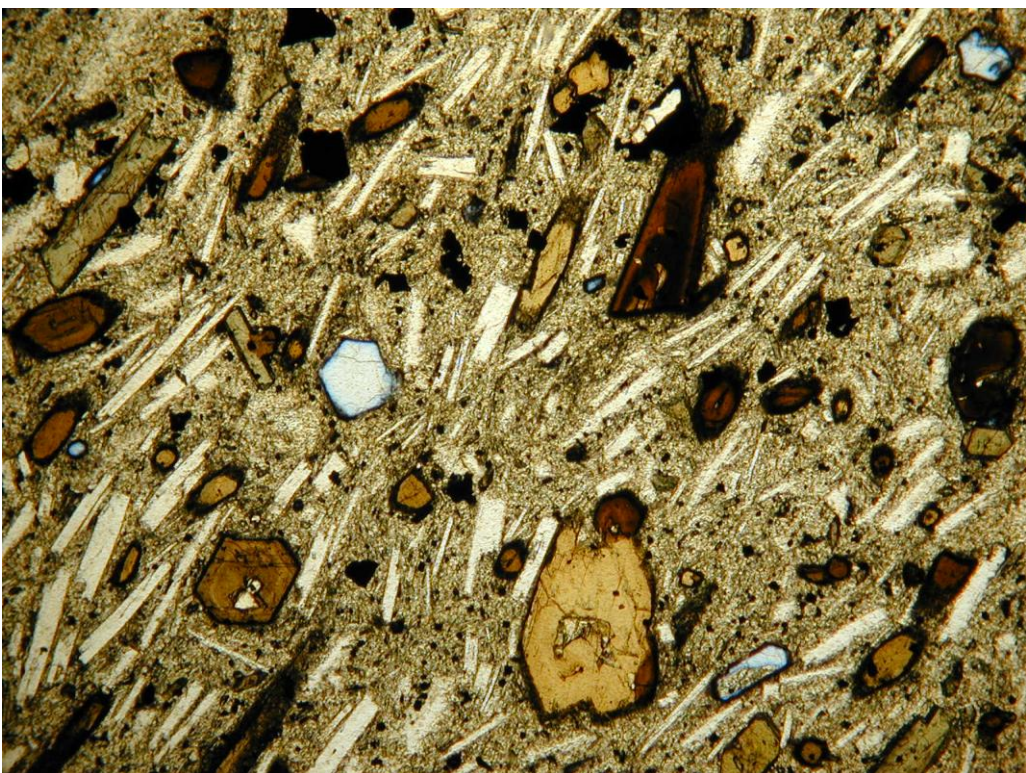
FOTOGRAFÍA N° 12



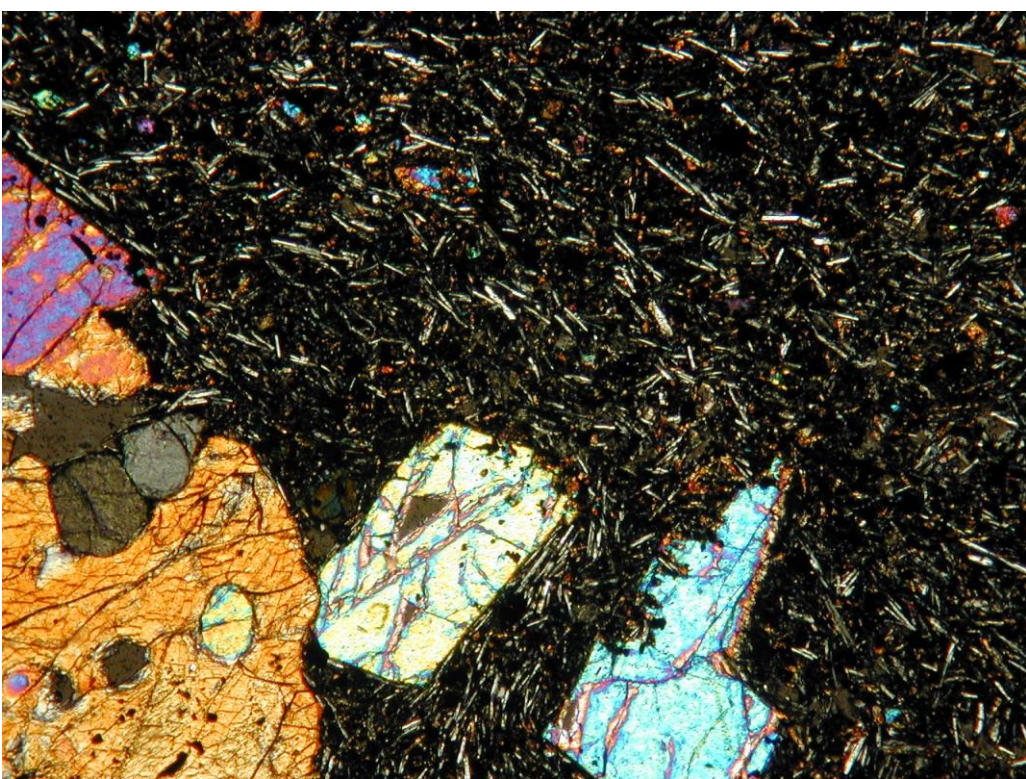
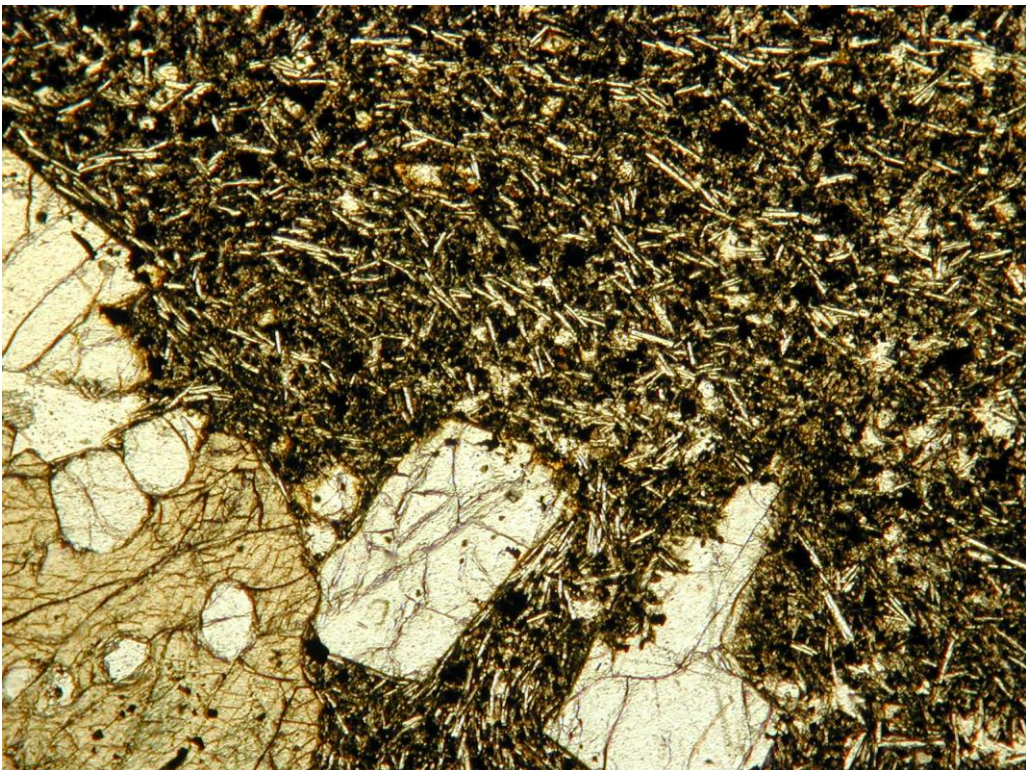
Fotografías petrografía 36 A y B: basalto olivínico augítico



Fotografías petrografía 37 A y B: basalto piroxénico olivínico



Fotografías petrografía 71 A y B: Fonolita hauynica máfica



Fotografías petrografía 146 A y B: basalto piroxénico olivínico



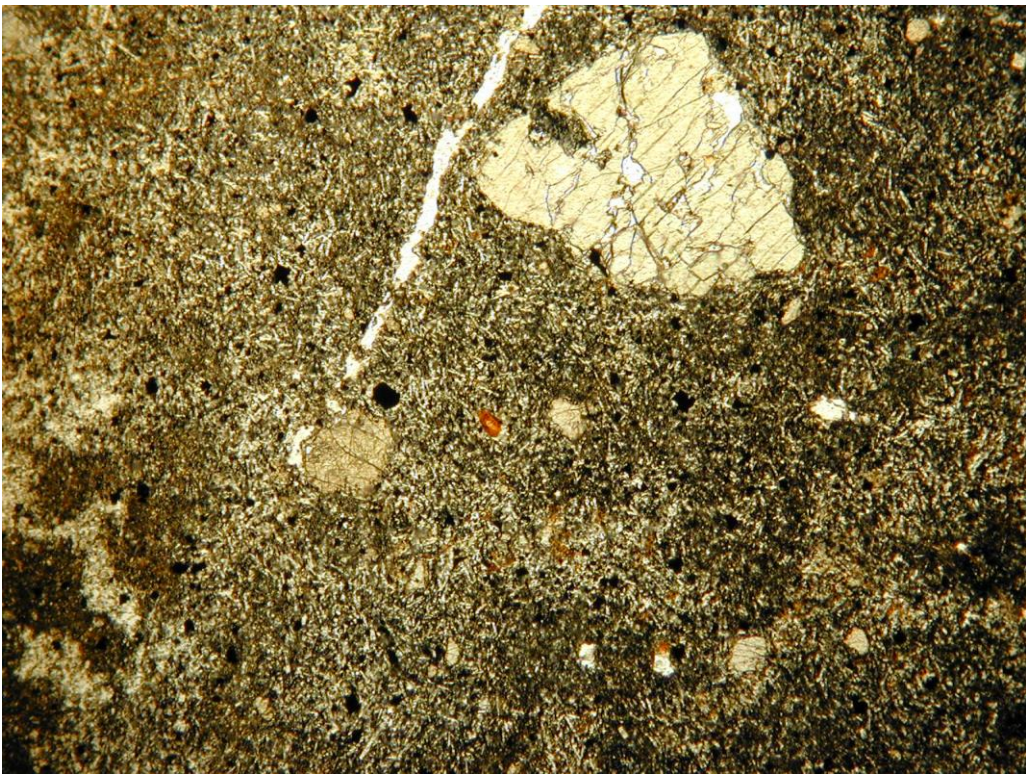
Foto: J.C Carracedo

FOTOGRAFÍA N° 13



Foto: J.C Carracedo

FOTOGRAFÍA N° 14



Fotografías petrografía 236 A y B: basalto augítico



Fotografías petrografía 5 A y B: Fonolita



Foto: J.C Carracedo

FOTOGRAFÍA N° 15

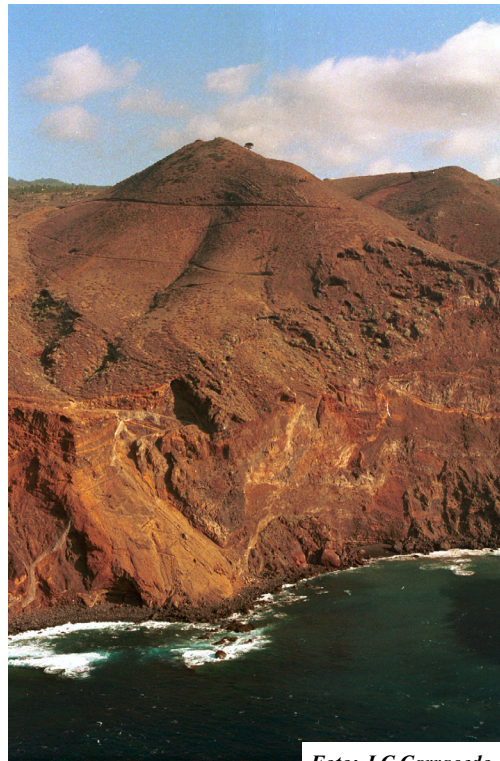
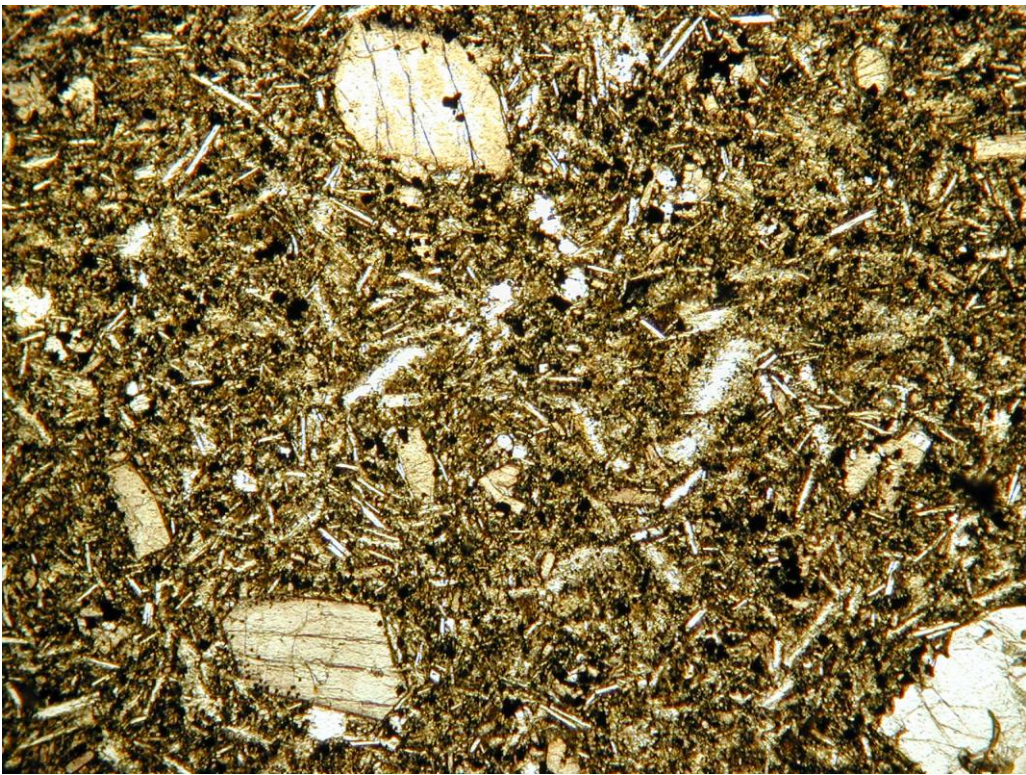
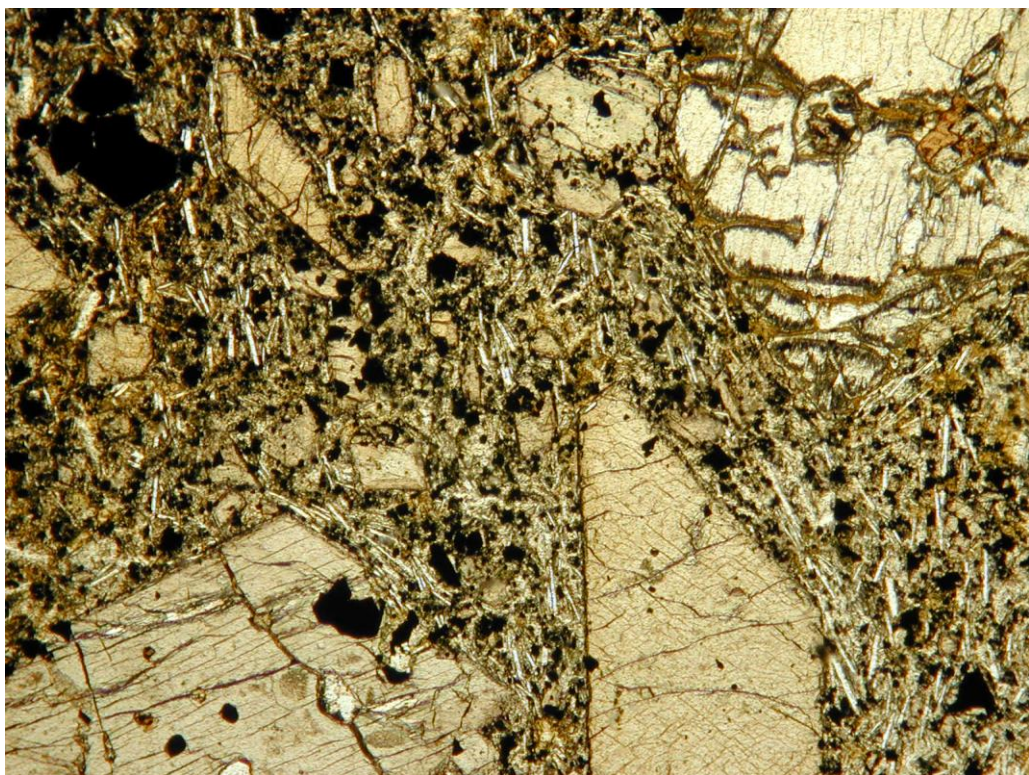


Foto: J.C Carracedo

FOTOGRAFÍA N° 16



Fotografías petrografía 17 A y B: basalto piroxénico olivínico



Fotografías petrografía 209 A y B: basalto olivínico augítico

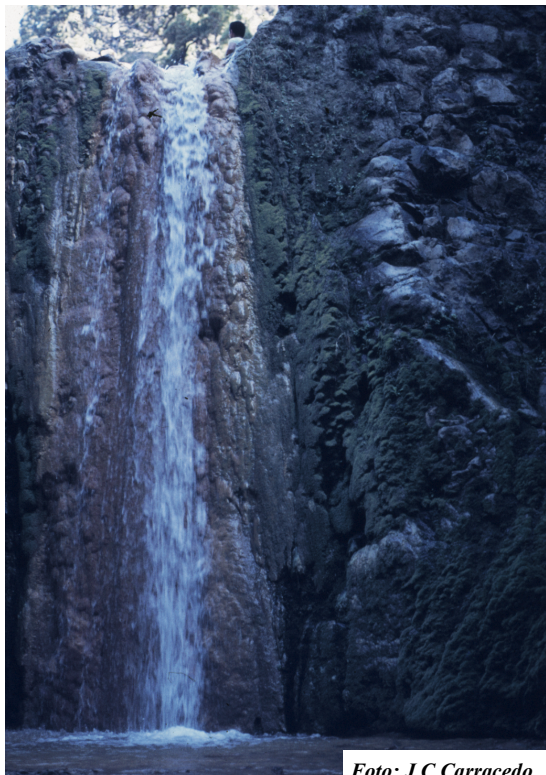


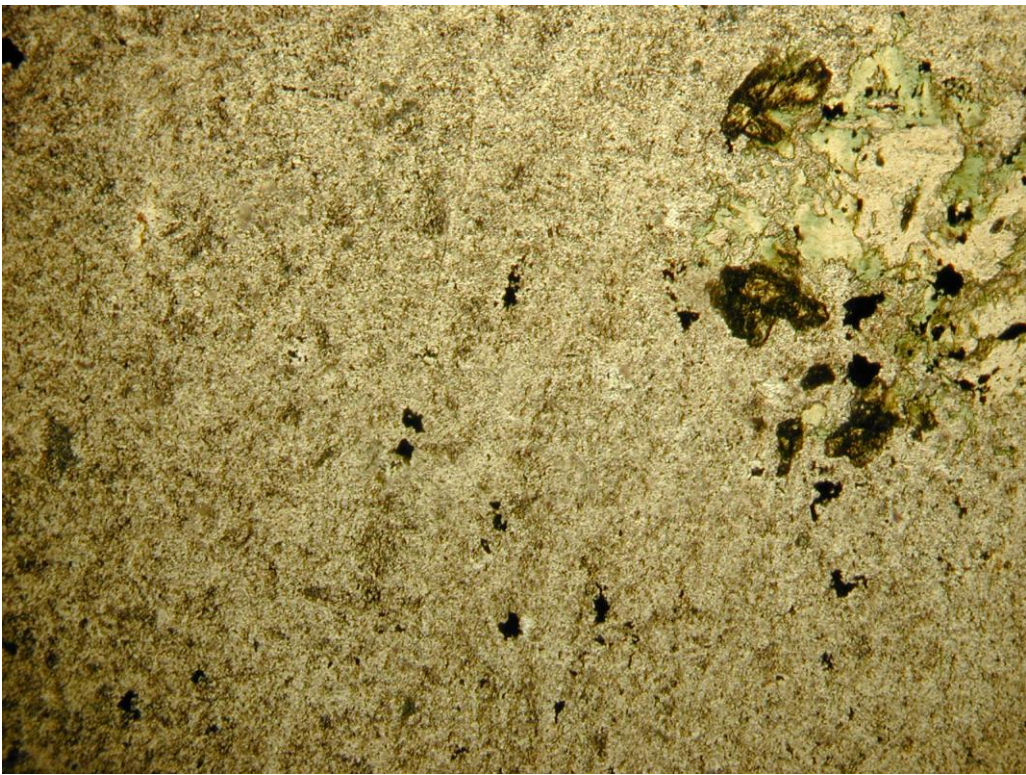
Foto: J.C Carracedo

FOTOGRAFÍA N° 17

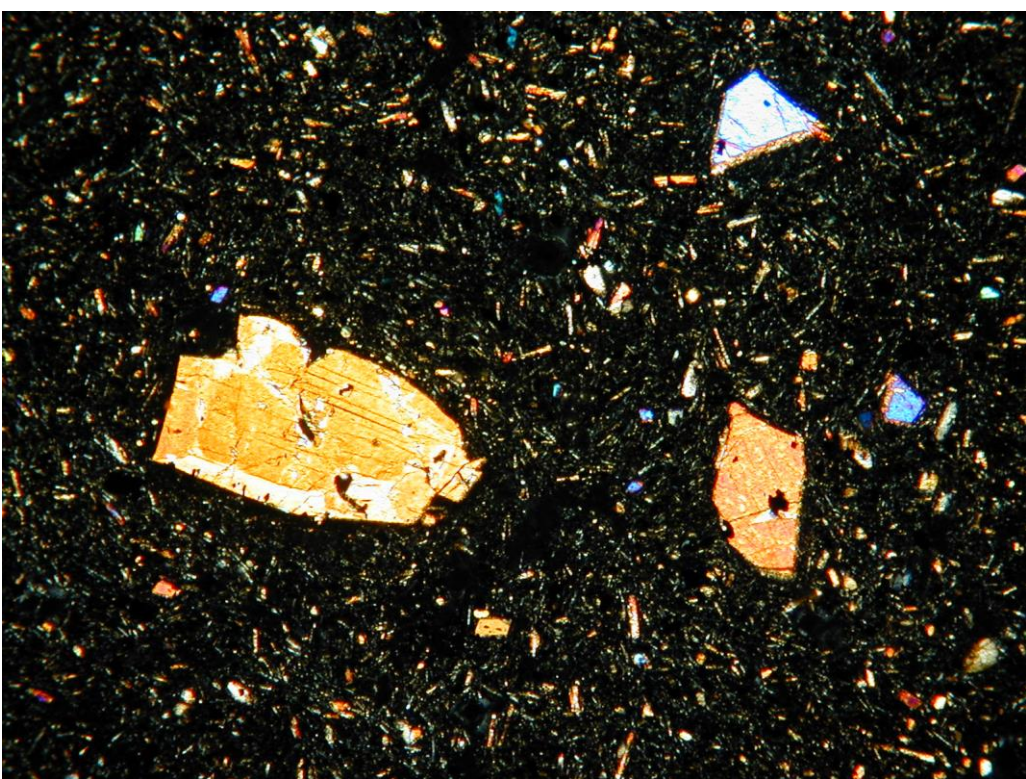
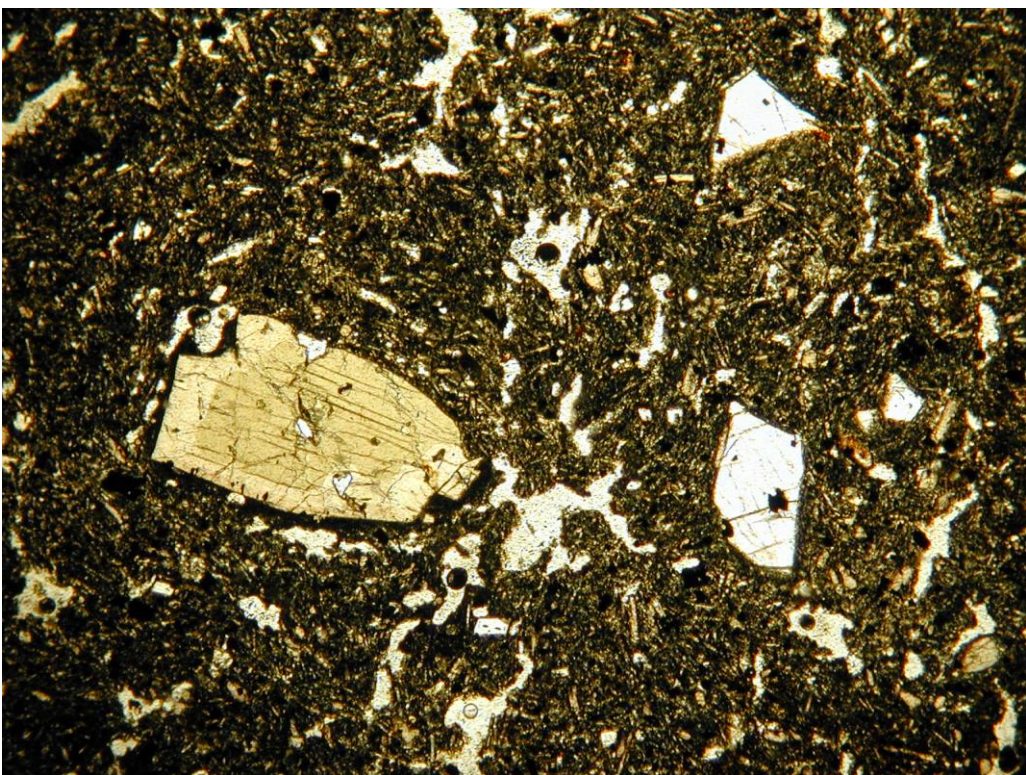


Foto: J.C Carracedo

FOTOGRAFÍA N° 18



Fotografías petrografía 174 A y B: traquita con metasomatismo



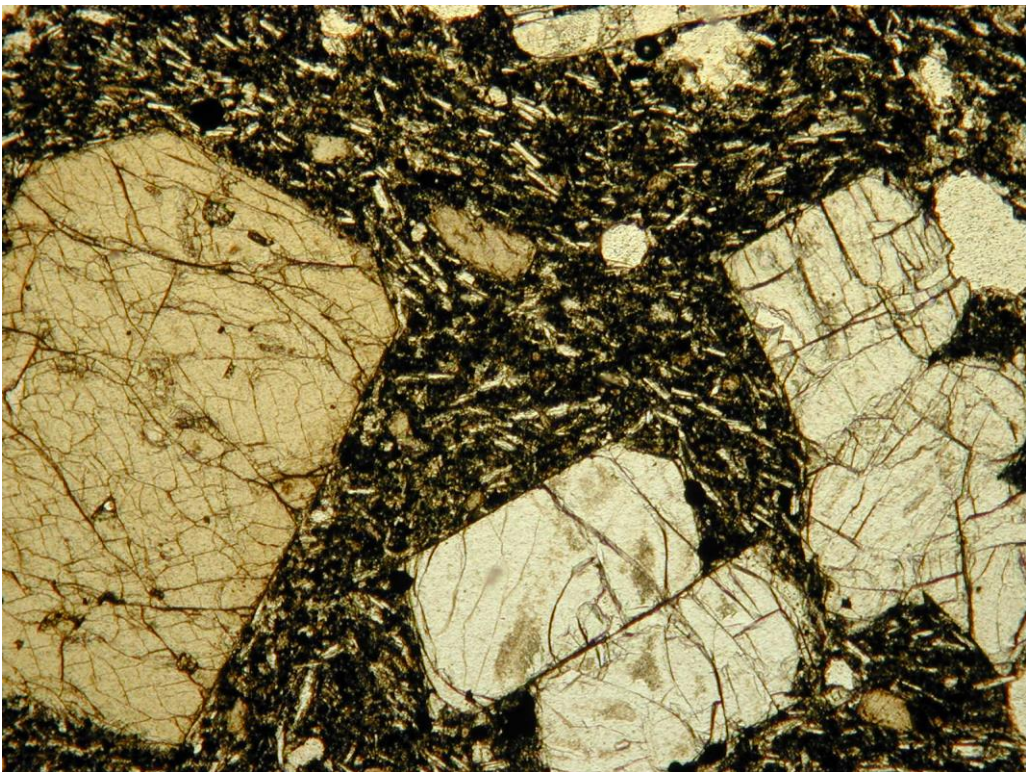
Fotografías petrografía 20 A y B: basalto olivínico piroxénico



FOTOGRAFÍA N° 19



FOTOGRAFÍA N° 20



Fotografías petrografía 215 A y B: basalto olivínico augítico



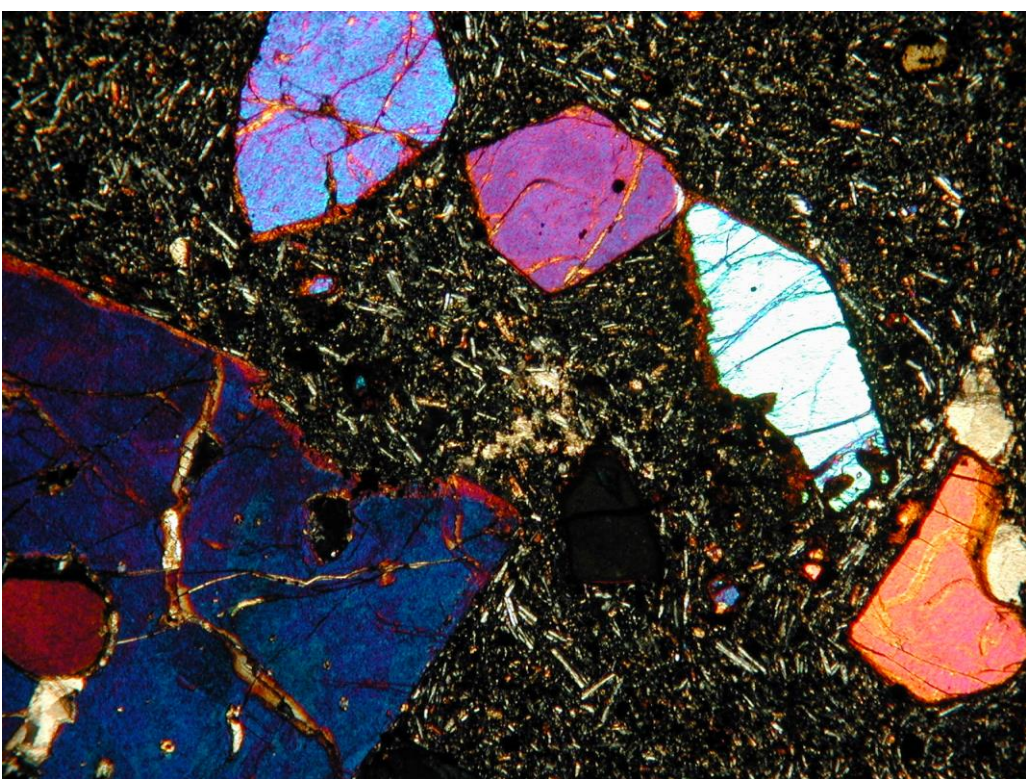
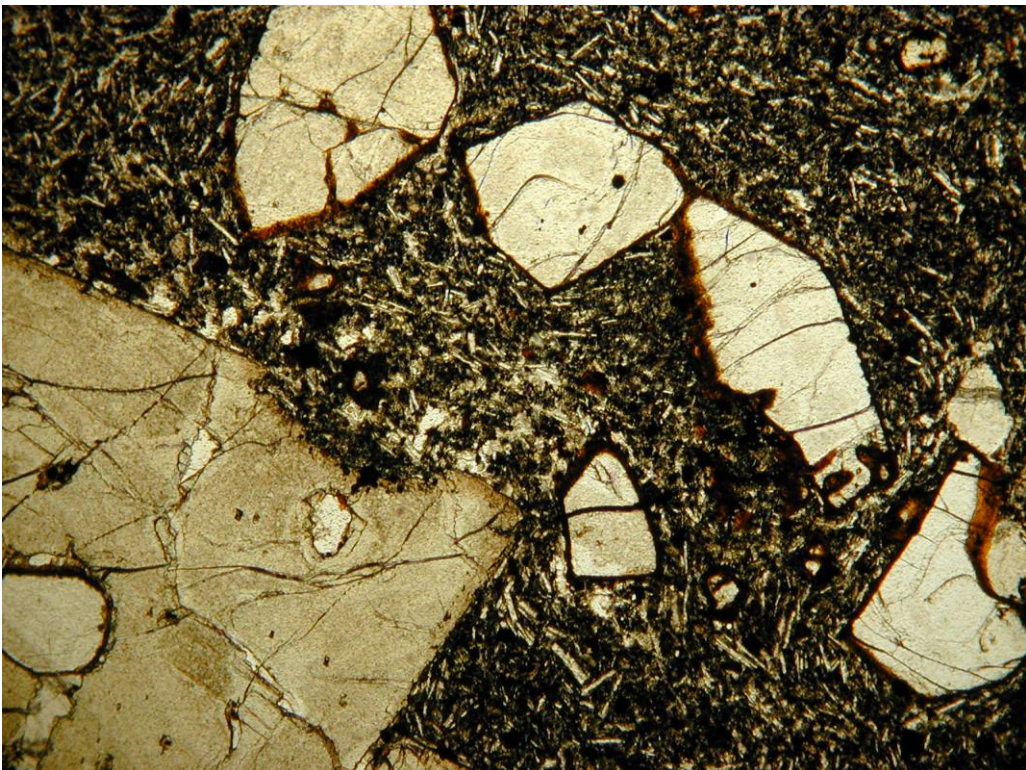
Foto: J.C Carracedo

FOTOGRAFÍA N° 21

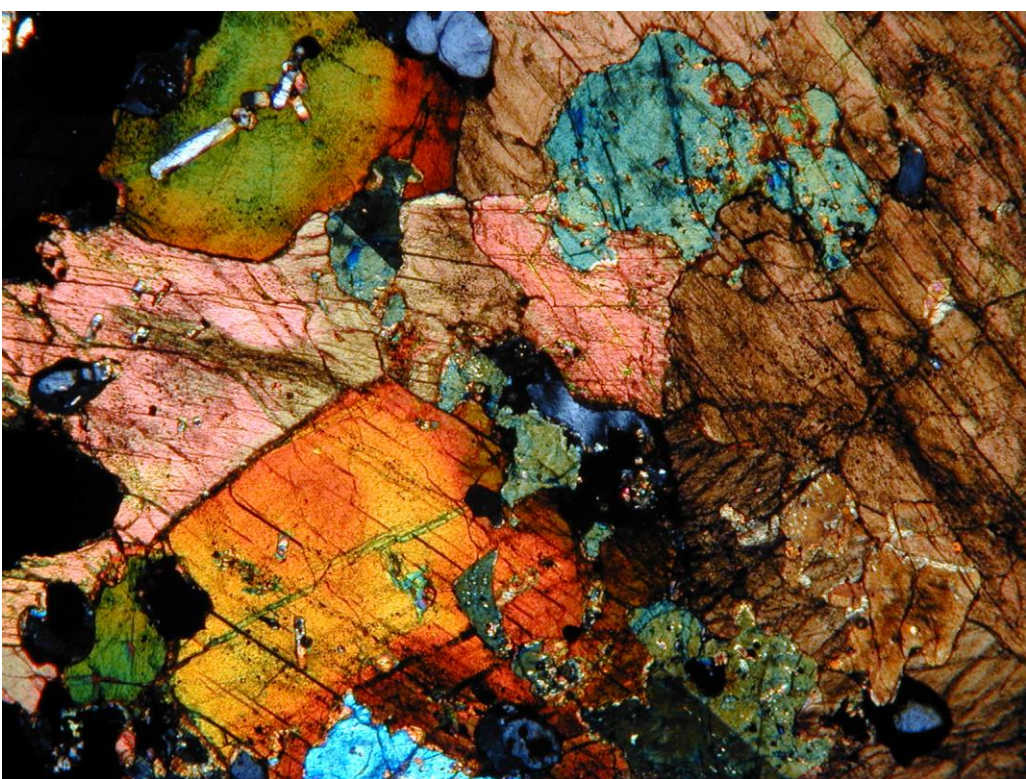


Foto: J.C Carracedo

FOTOGRAFÍA N° 22



Fotografías petrografía 44 A y B: basalto piroxénico olivínico



Fotografías petrografía 67 A y B: acumulado anfibólico piroxénico



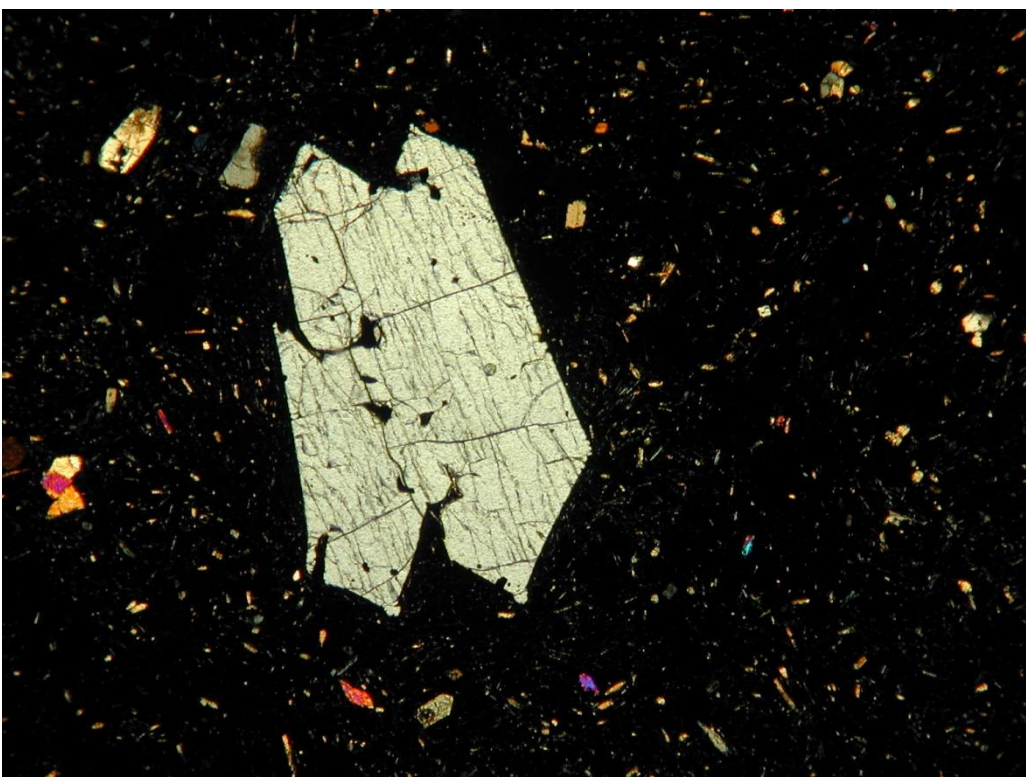
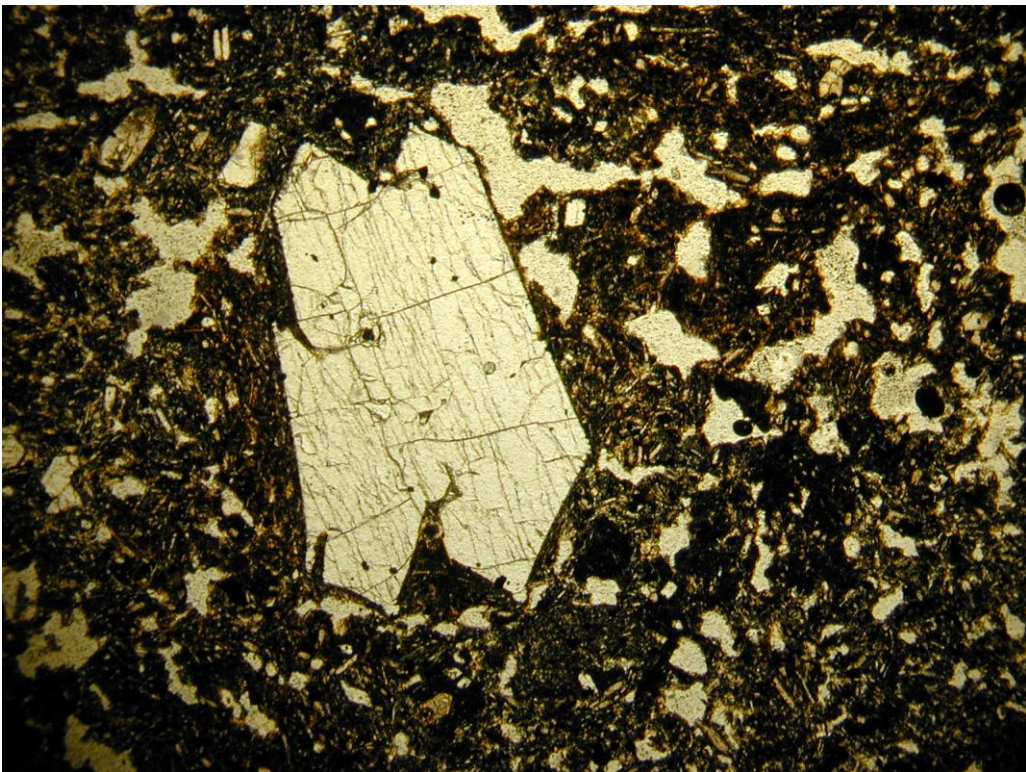
Foto: J.C Carracedo

FOTOGRAFÍA N° 23

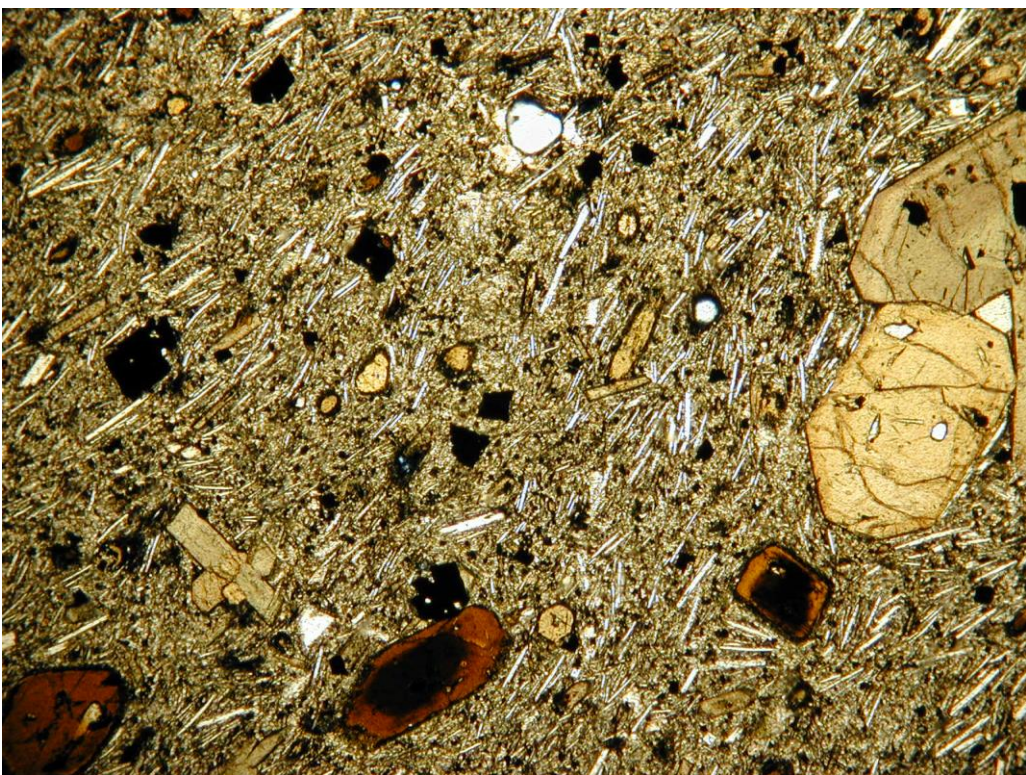


Foto: J.C Carracedo

FOTOGRAFÍA N° 24



Fotografías petrografía 20 A y B: basalto olivínico piroxénico



Fotografías petrografía 61 A y B: Fonolita hauynica máfica



Foto: J.C Carracedo

FOTOGRAFÍA N° 25

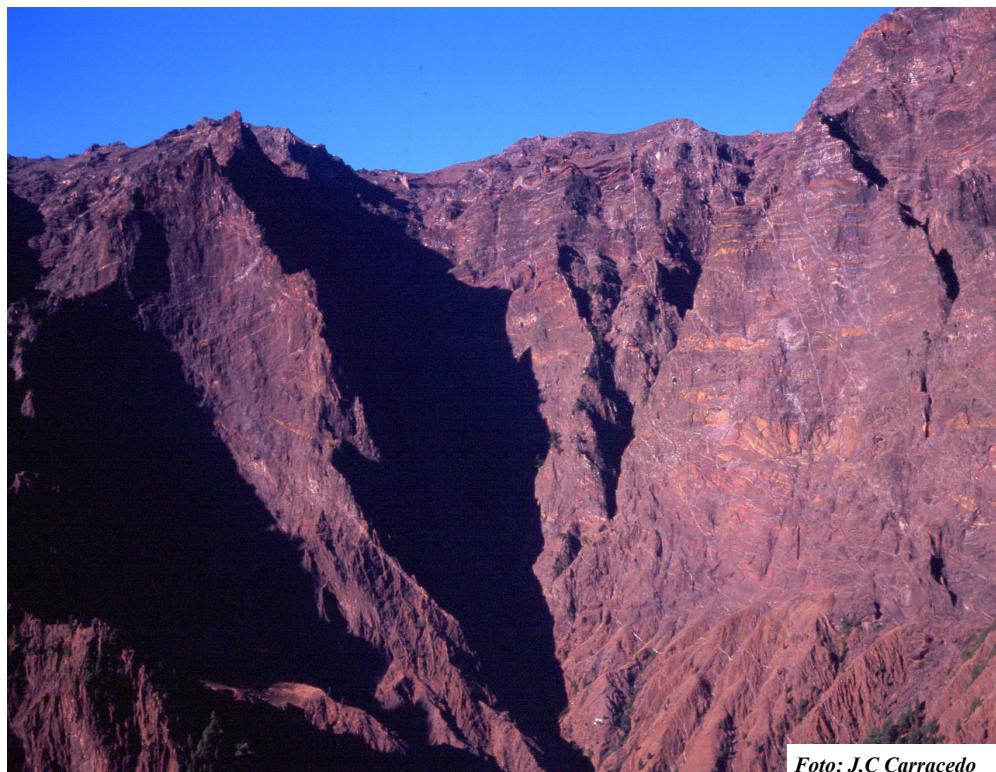
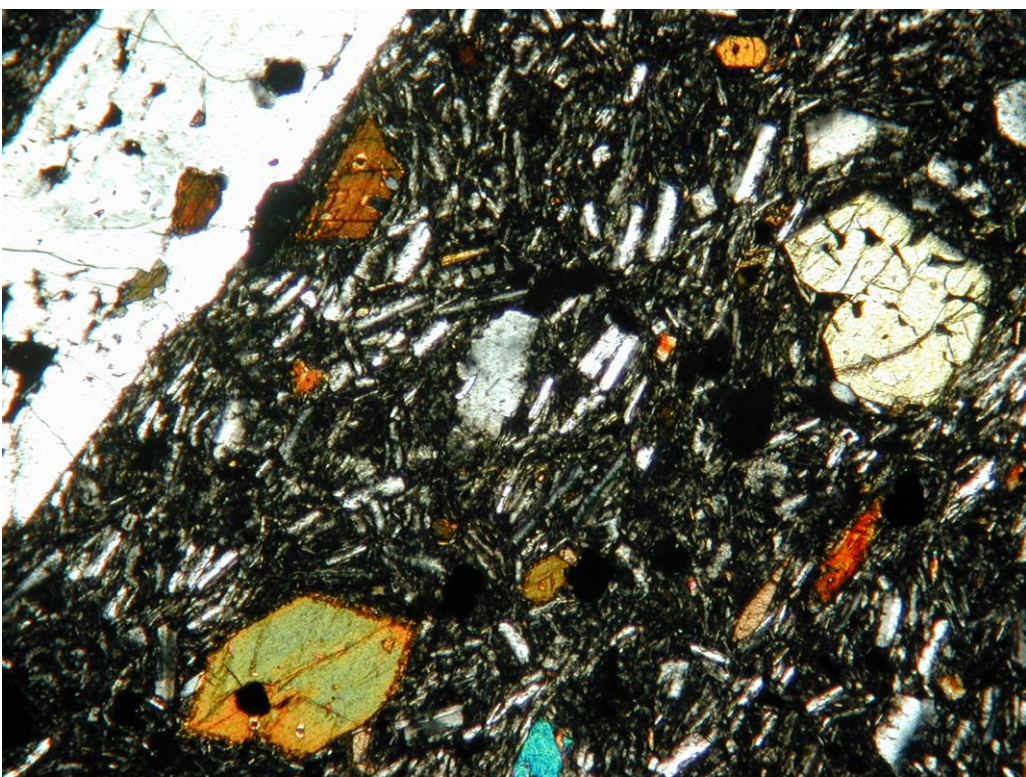
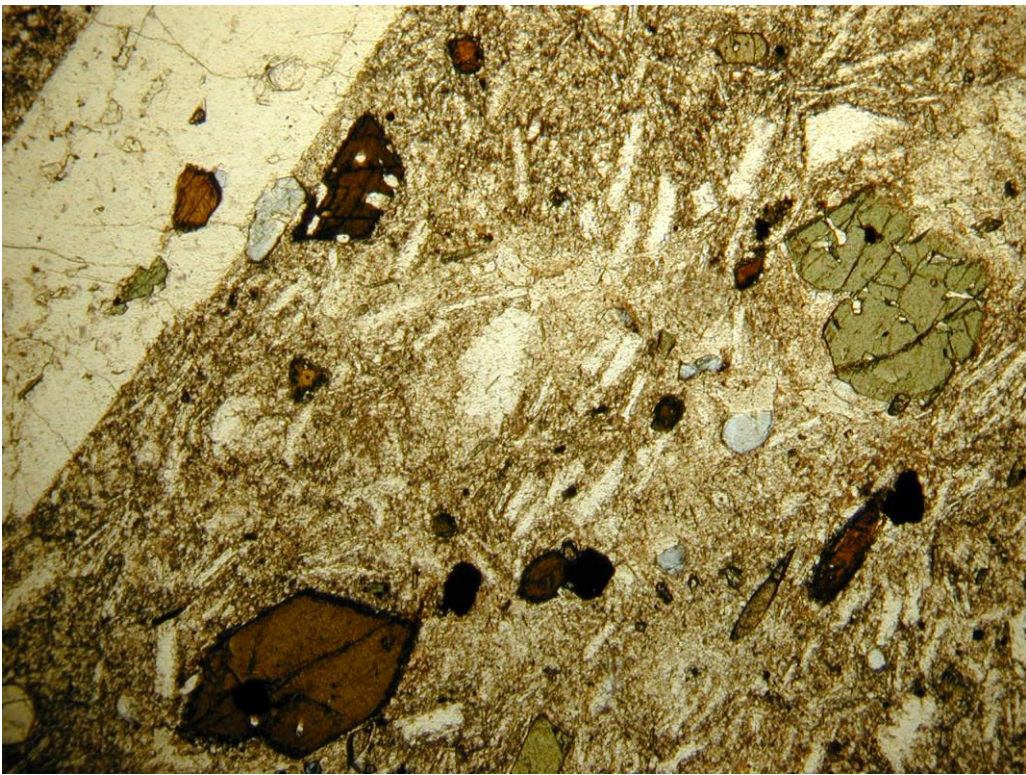
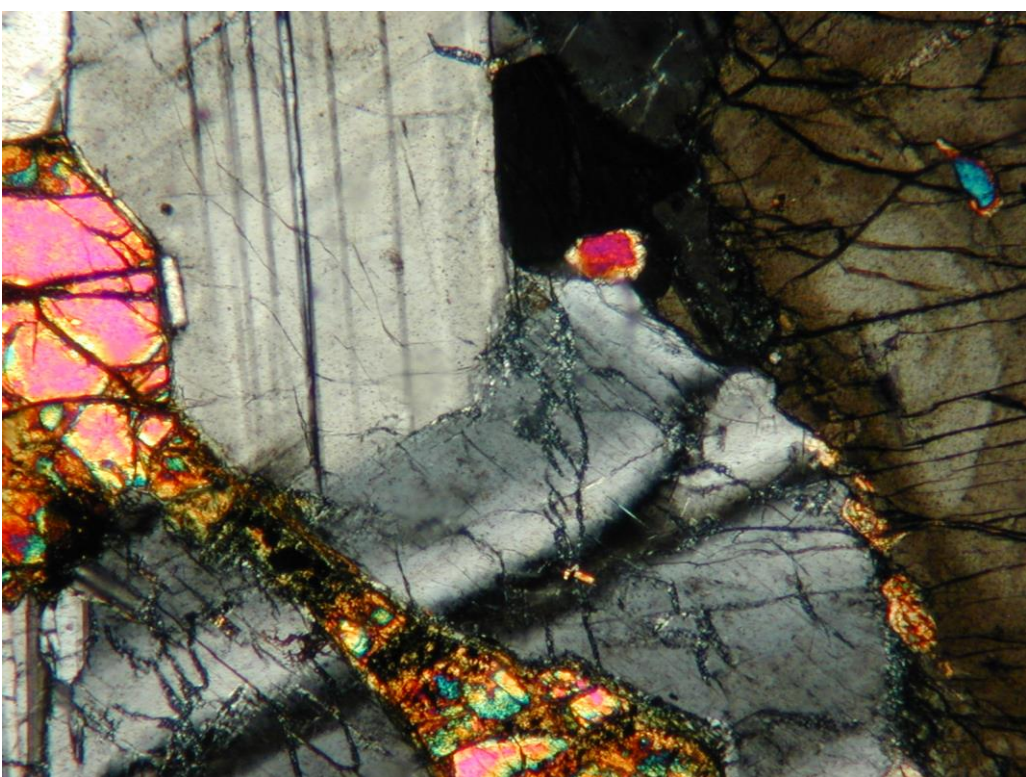
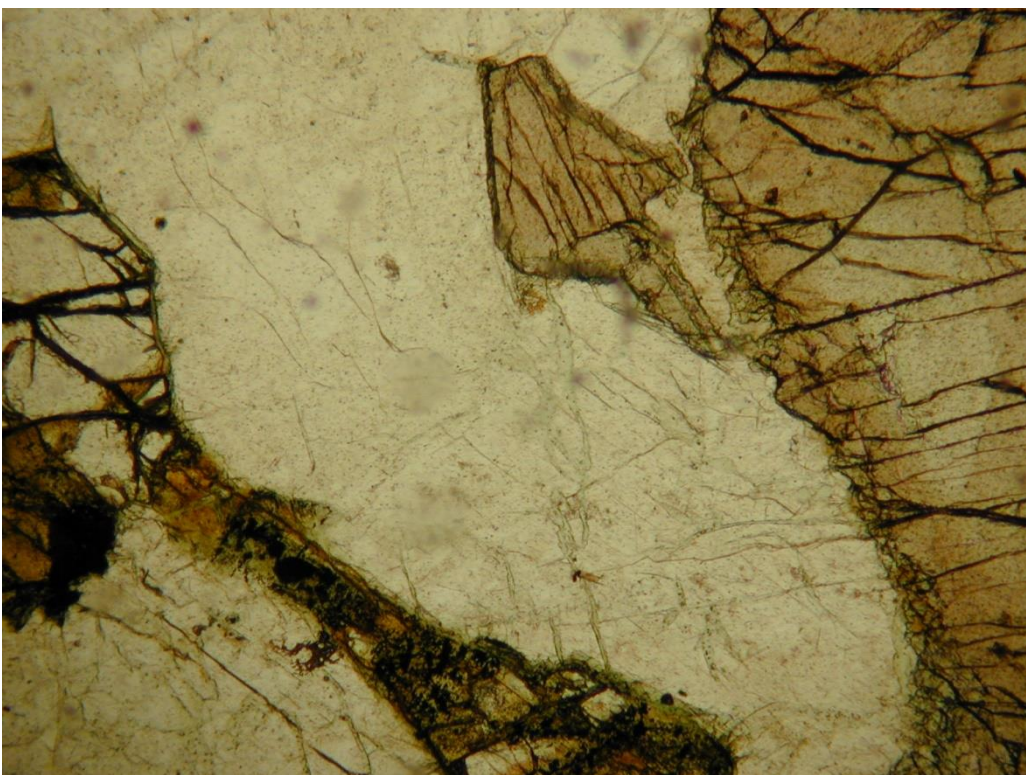


Foto: J.C Carracedo

FOTOGRAFÍA N° 26



Fotografías petrografía 280 A y B: Tefrita hauynica máfica



Fotografías petrografía 96 A y B: Gabbro piroxénico olivínico



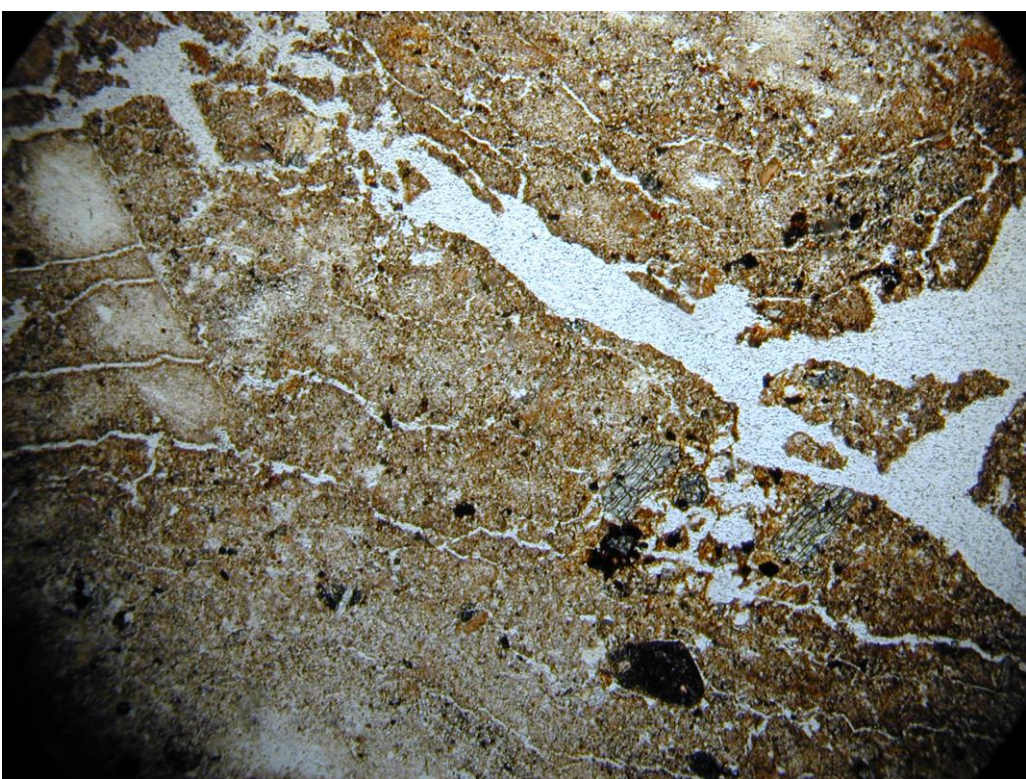
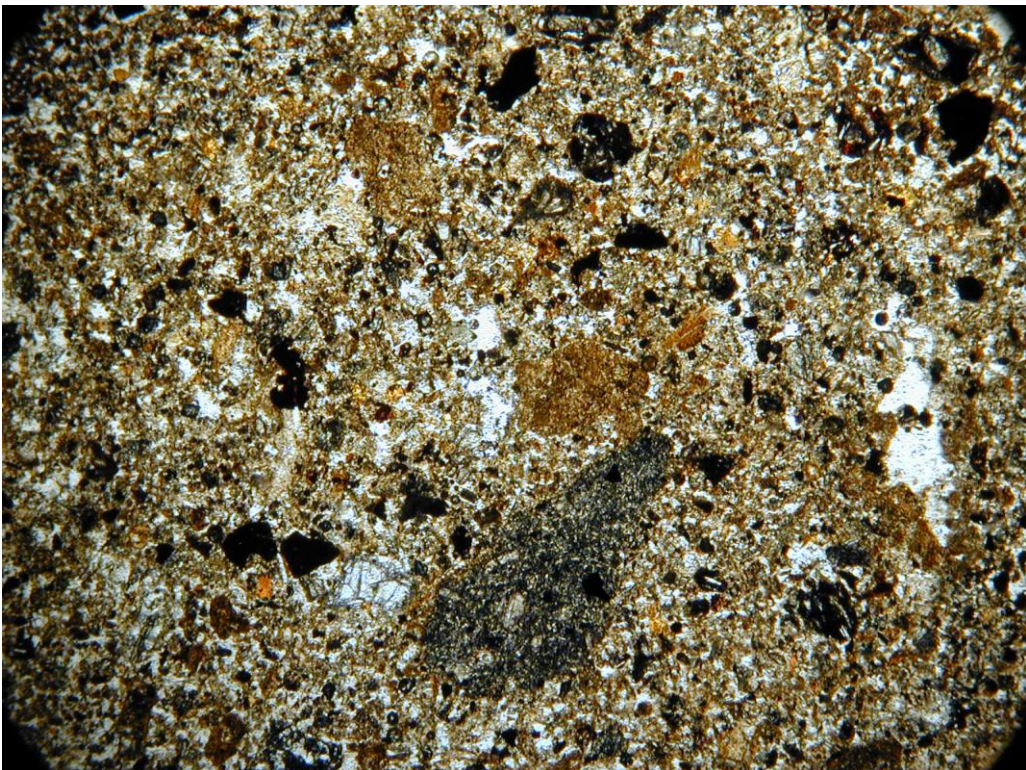
Foto: J.C Carracedo

FOTOGRAFÍA N° 27

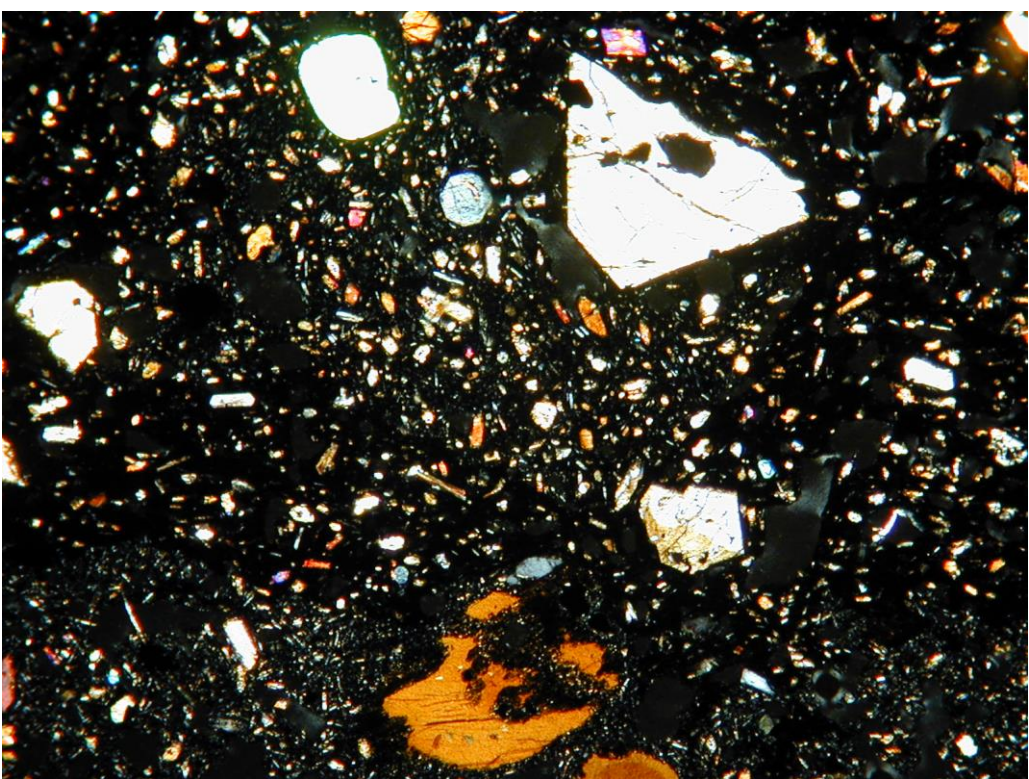
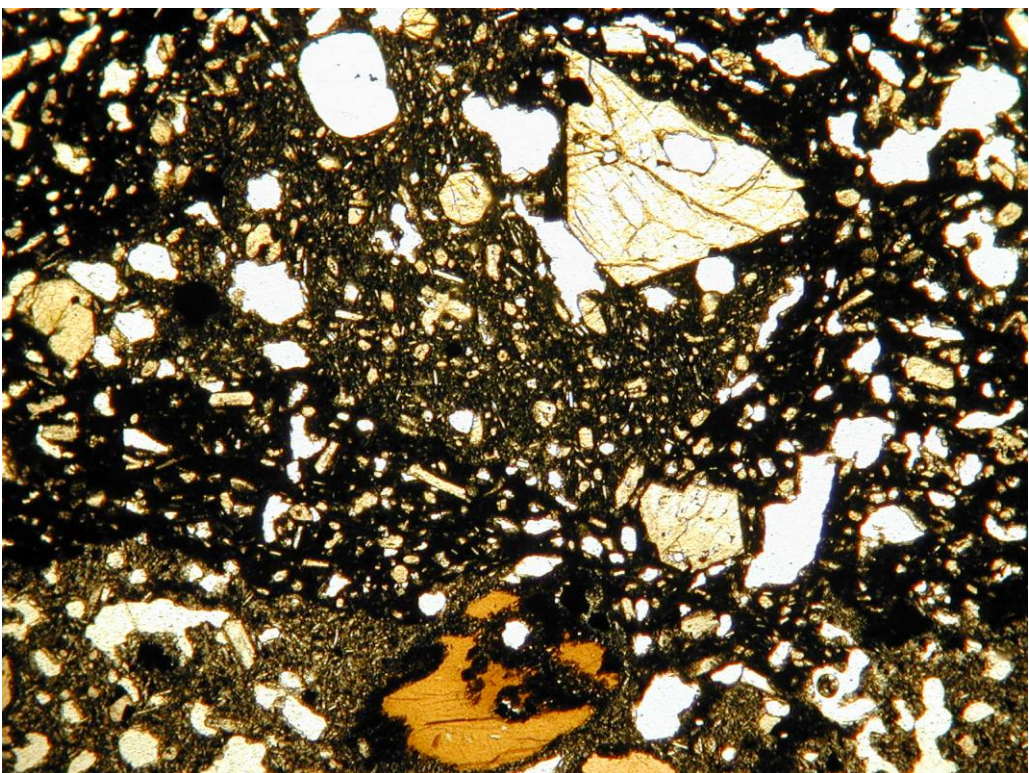


Foto: J.C Carracedo

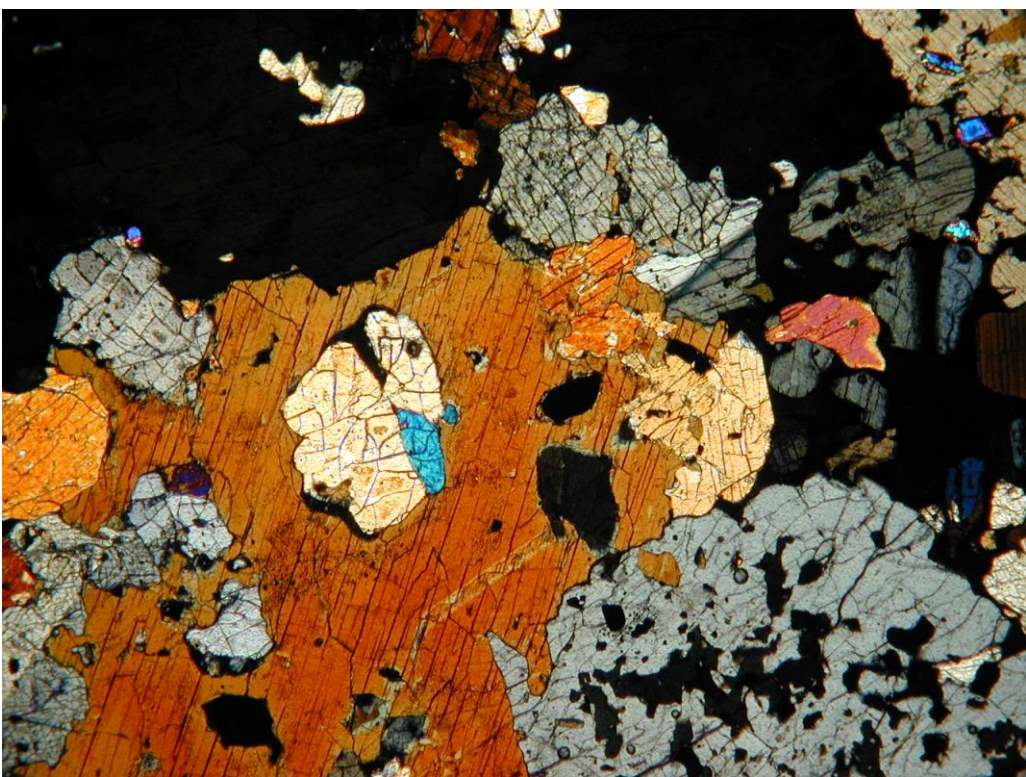
FOTOGRAFÍA N° 28



Fotografías petrografía 252 A y B: arcilla-litoarenita volcánica



Fotografías petrografía 68 A y B: basalto olivínico augítico



Fotografías petrografía 69 A y B: acumulado olivínico piroxénico anfibálico



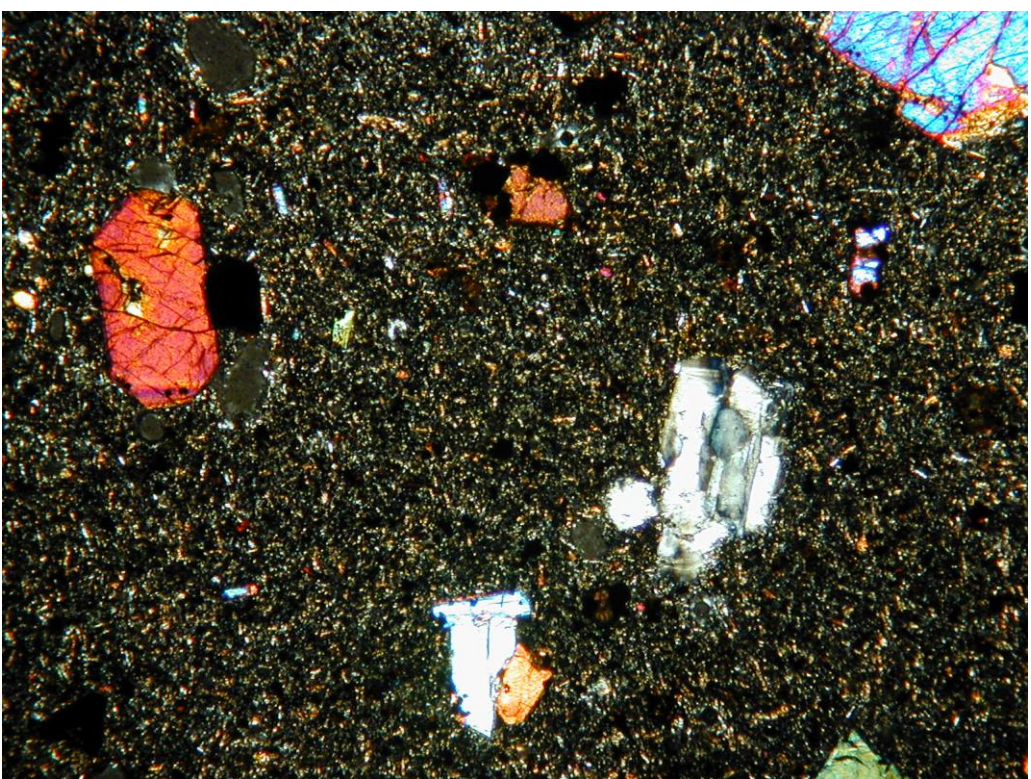
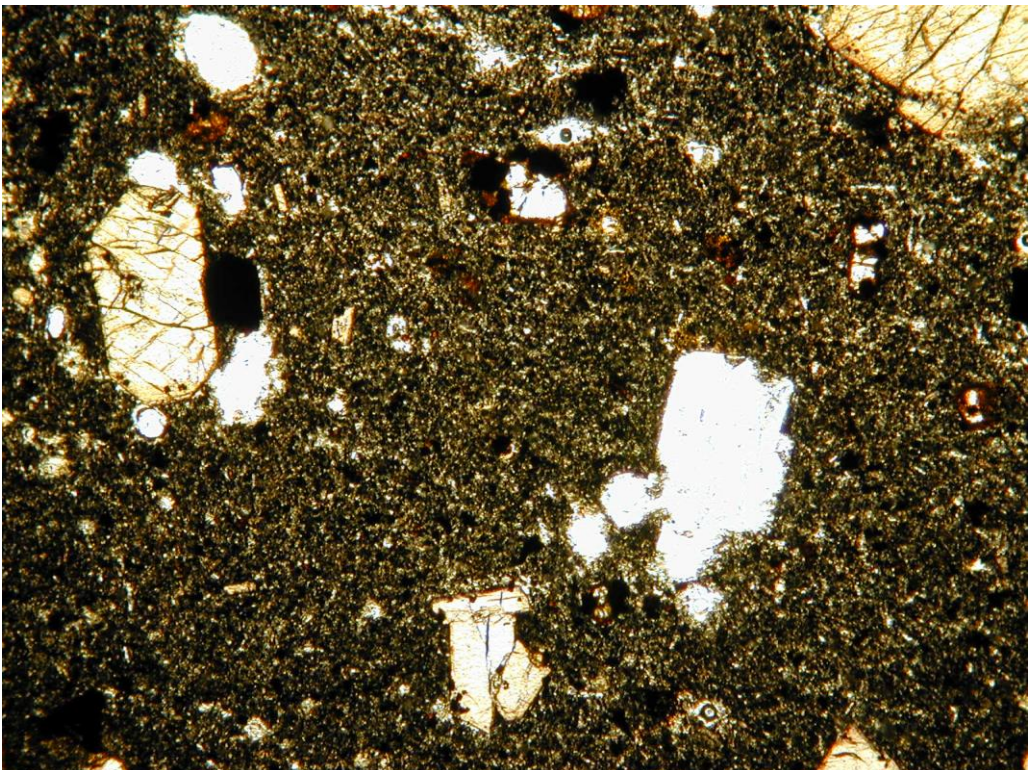
Foto: J.C Carracedo

FOTOGRAFÍA N° 29

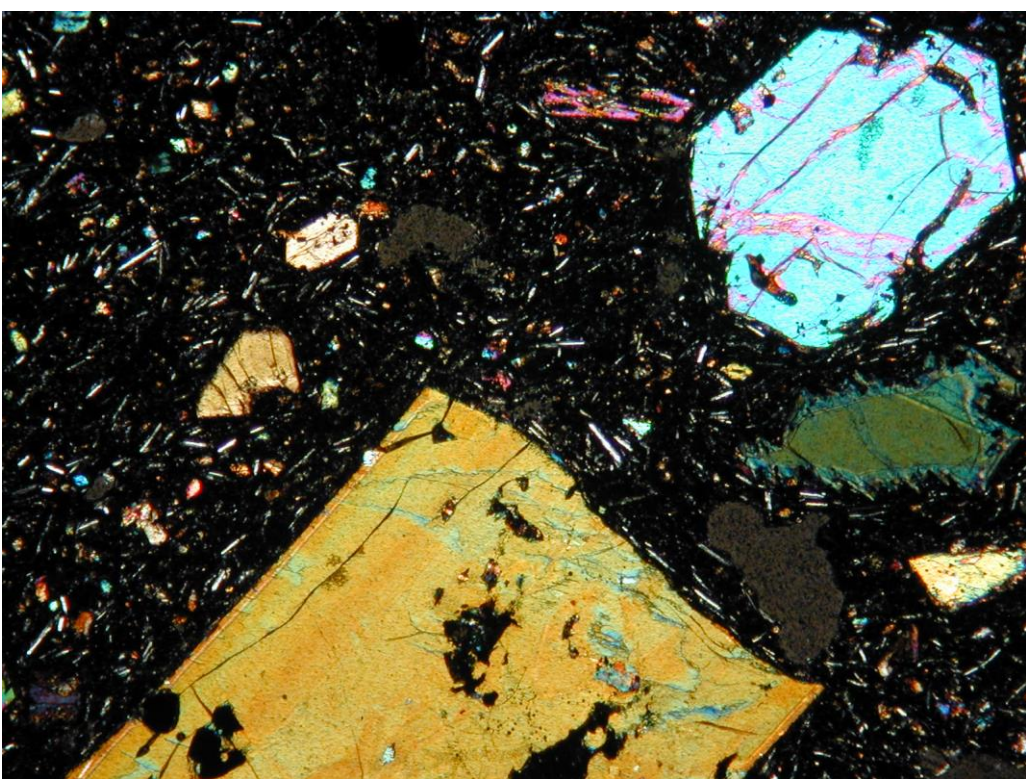
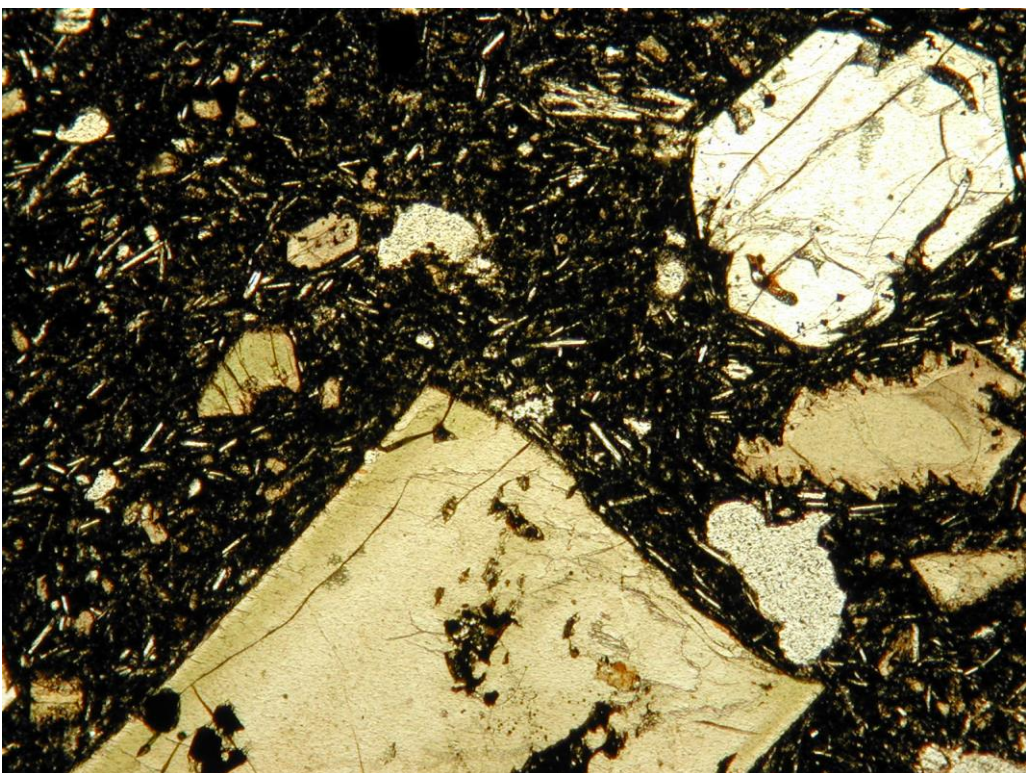


Foto: J.C Carracedo

FOTOGRAFÍA N° 30



Fotografías petrografía 273 A y B: basalto augítico olivínico



Fotografías petrografía 120 A y B: basalto augítico olivínico



Foto: J.C Carracedo

FOTOGRAFÍA Nº 31



Foto: J.C Carracedo

FOTOGRAFÍA Nº 32



Fotografías petrografía 110 A y B: basalto piroxénico olivínico



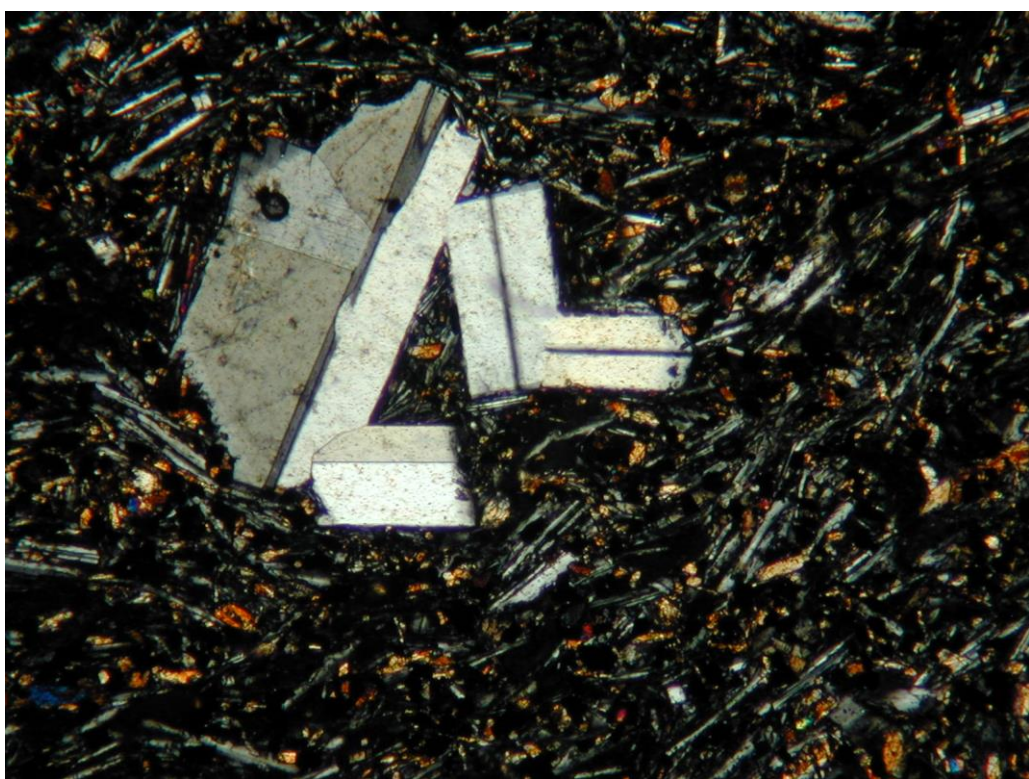
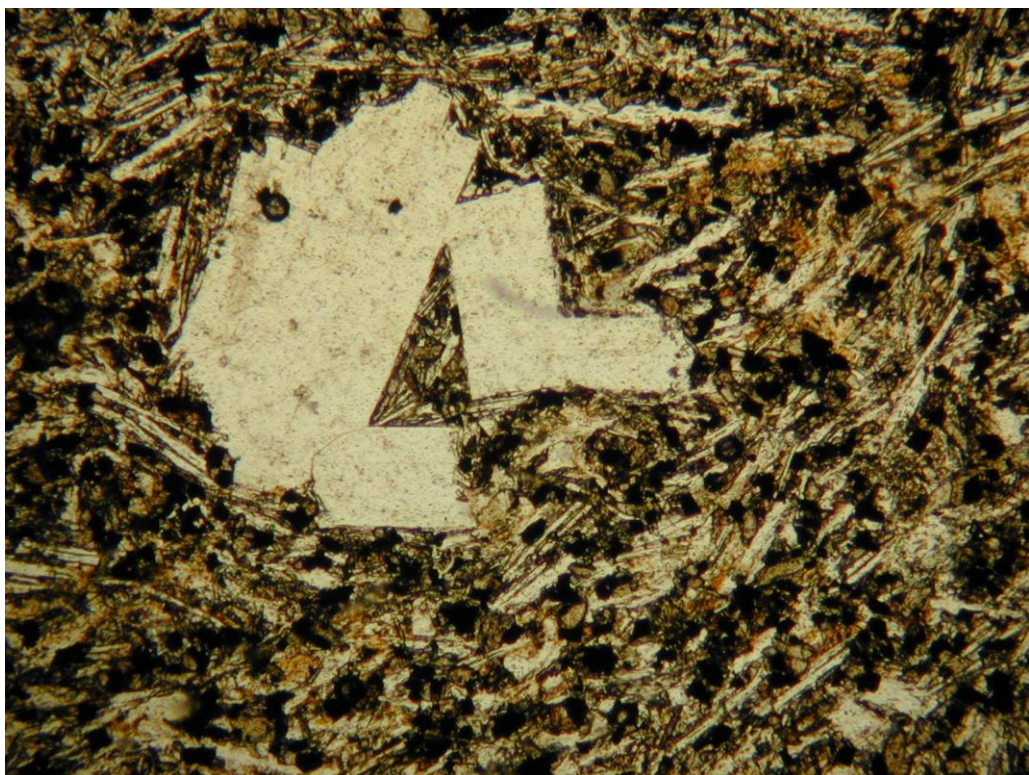
Foto: J.C Carracedo

FOTOGRAFÍA N° 33

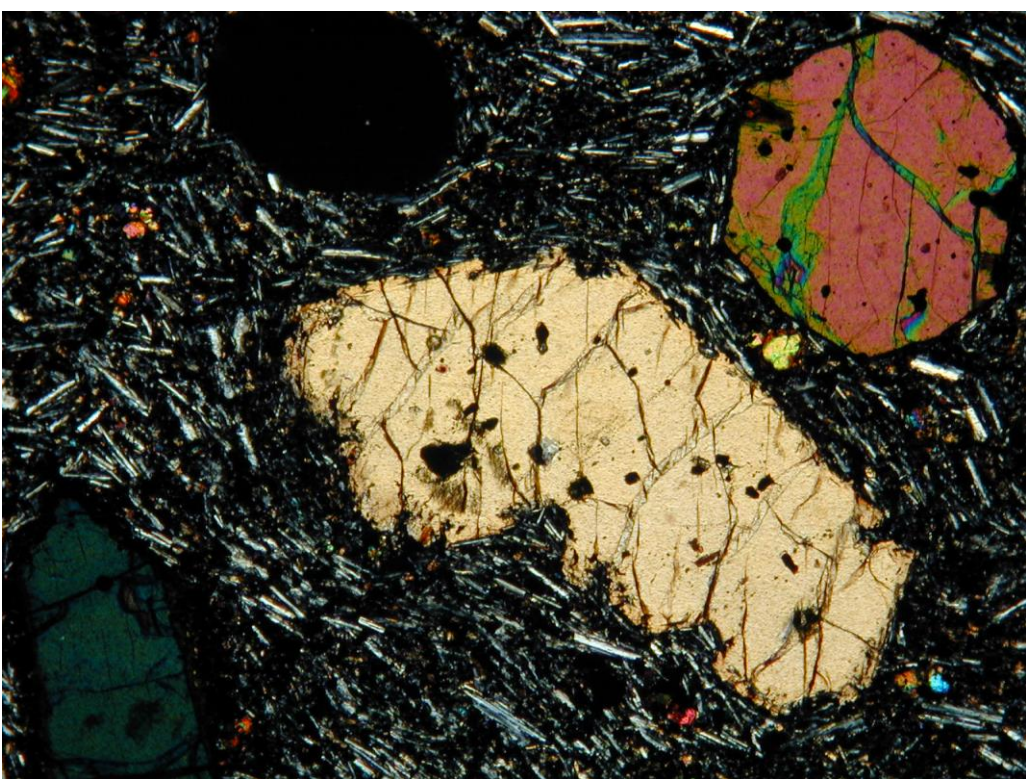
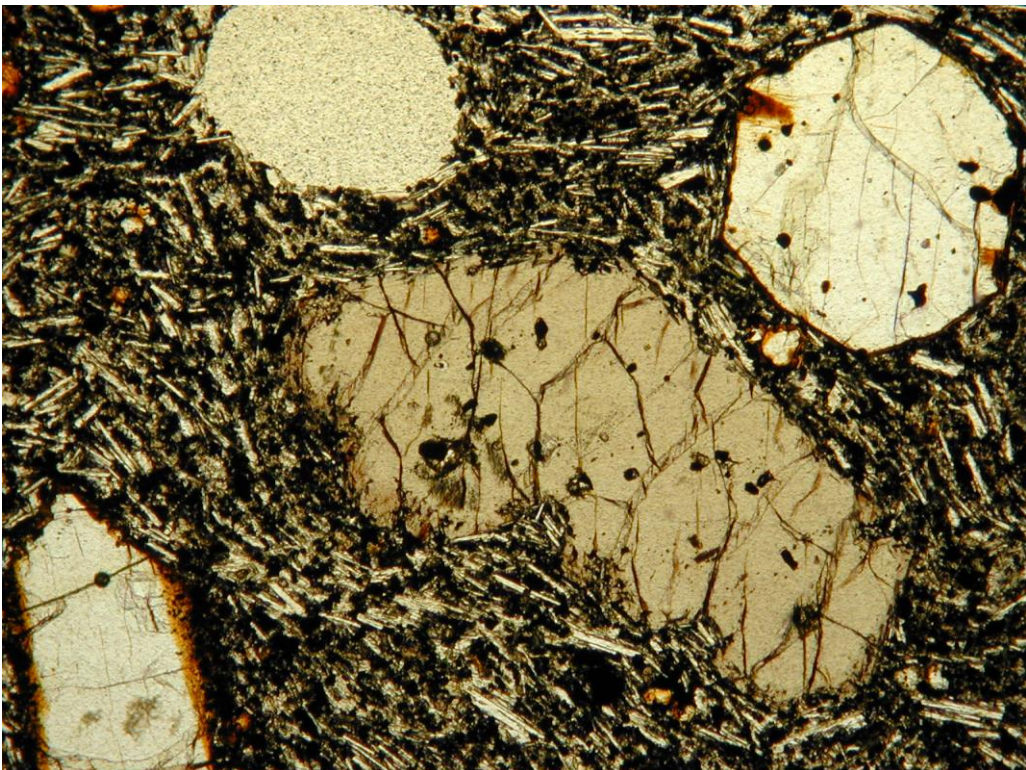


Foto: J.C Carracedo

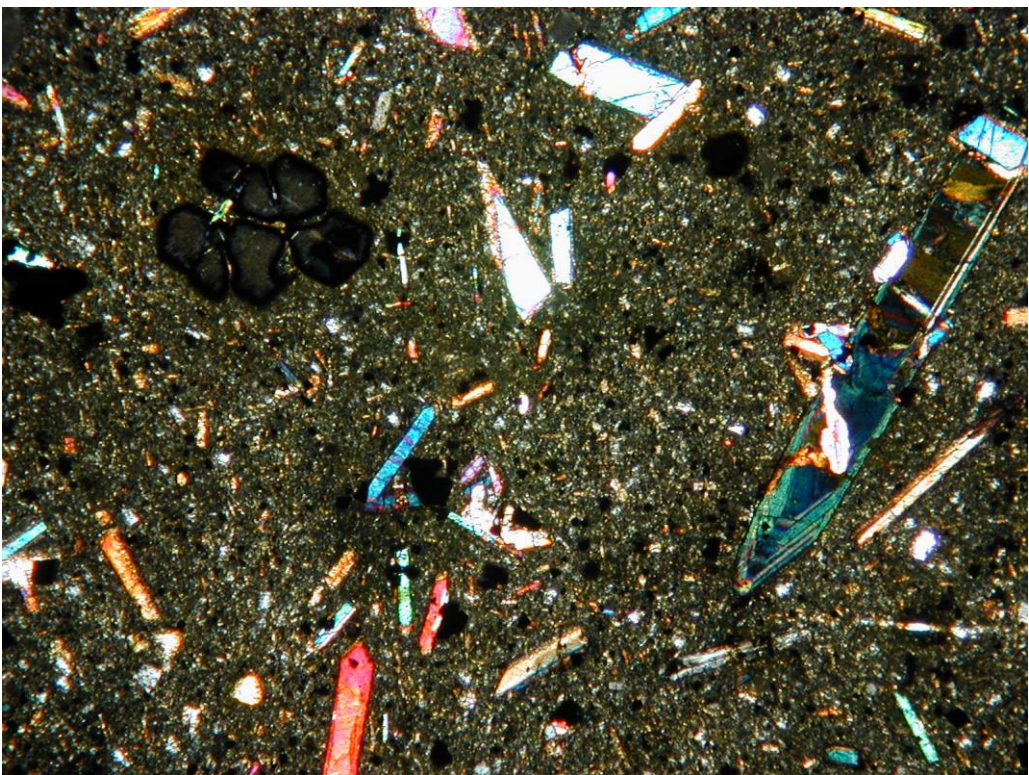
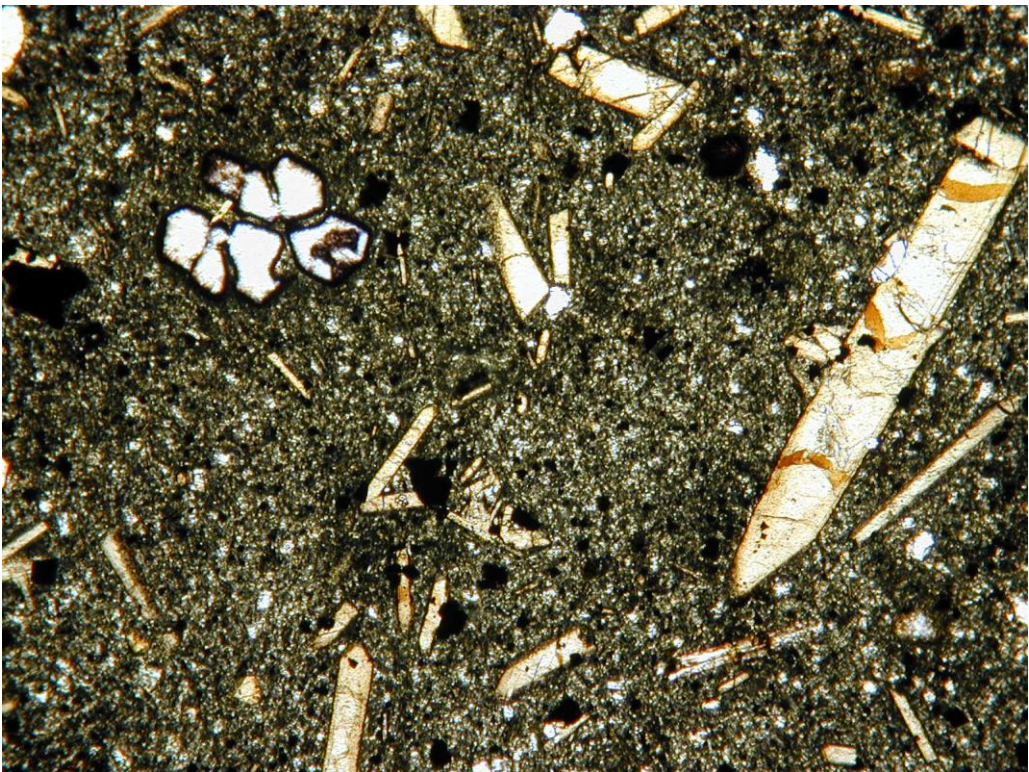
FOTOGRAFÍA N° 34



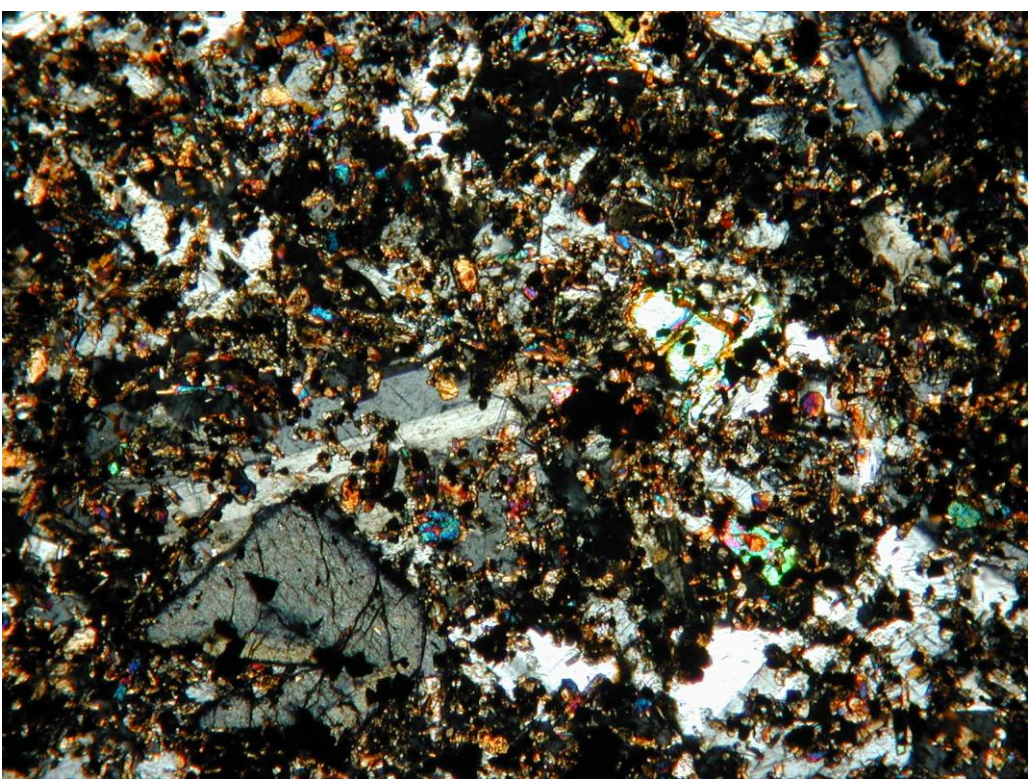
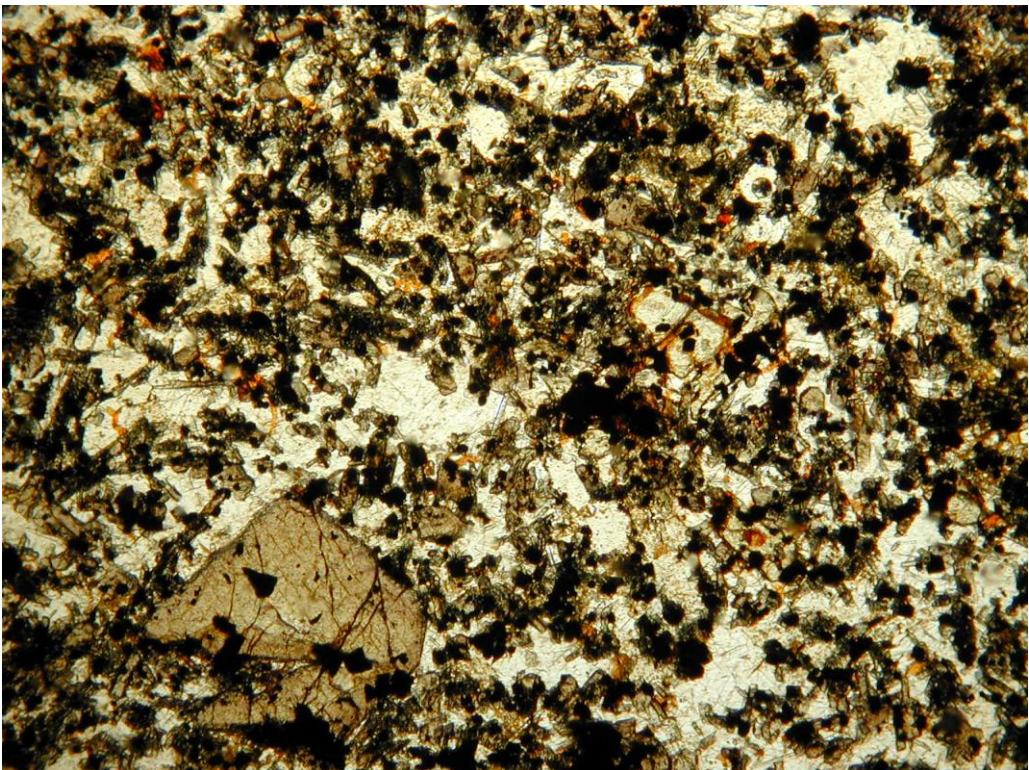
Fotografías petrografía 100 A y B: Traquibasalto



Fotografías petrografía 167 A y B: basalto olivínico piroxénico



Fotografías petrografía 72 A y B: Tefrita-Fonolita hauynica



Fotografías petrografía 224 A y B: dique de basalto piroxénico



Foto: J.C Carracedo

FOTOGRAFÍA N° 35



Foto: J.C Carracedo

FOTOGRAFÍA N° 36



Foto: J.C Carracedo

FOTOGRAFÍA N° 37

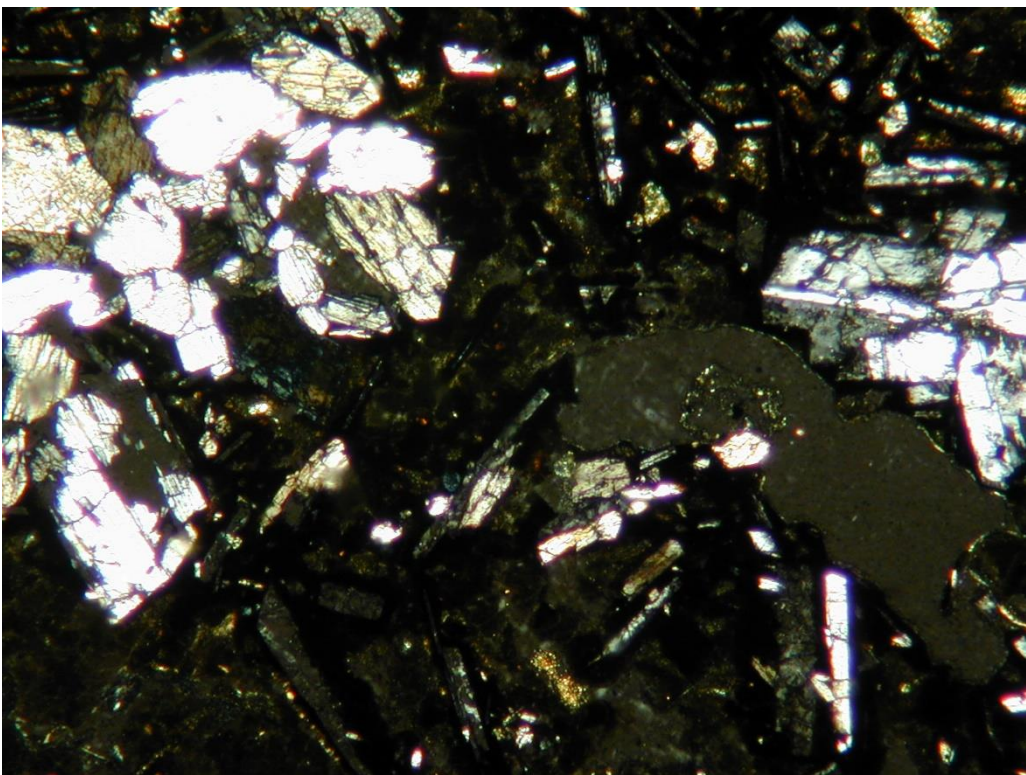
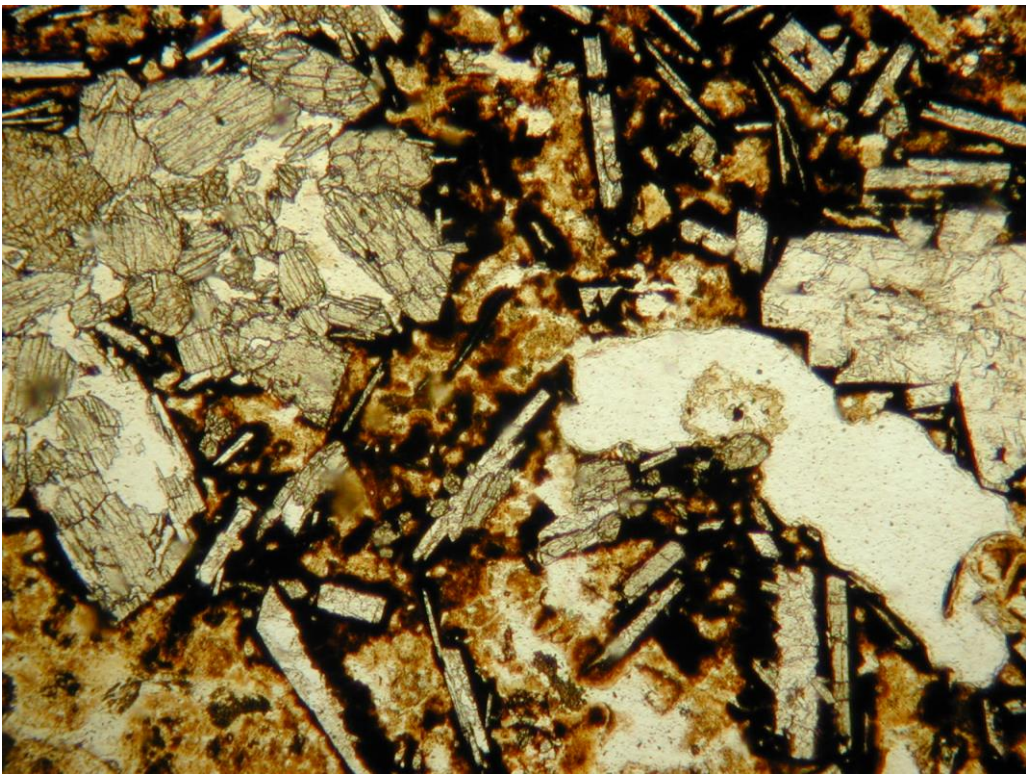


Foto: J.C Carracedo

FOTOGRAFÍA N° 38



Fotografías petrografía 10 A y B: basalto piroxénico olivínico



Fotografías petrografía 95 A y B: basalto augítico plagioclásico



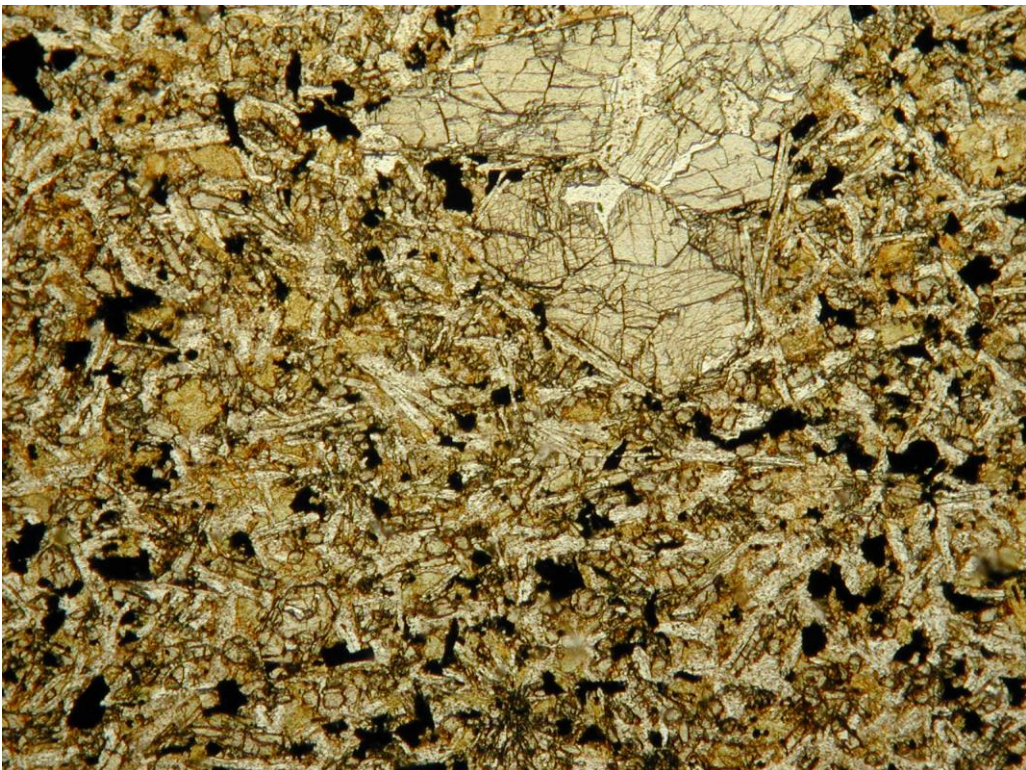
Foto: J.C Carracedo

FOTOGRAFÍA N° 39



Foto: J.C Carracedo

FOTOGRAFÍA N° 40



Fotografías petrografía 177 A y B: basalto augítico



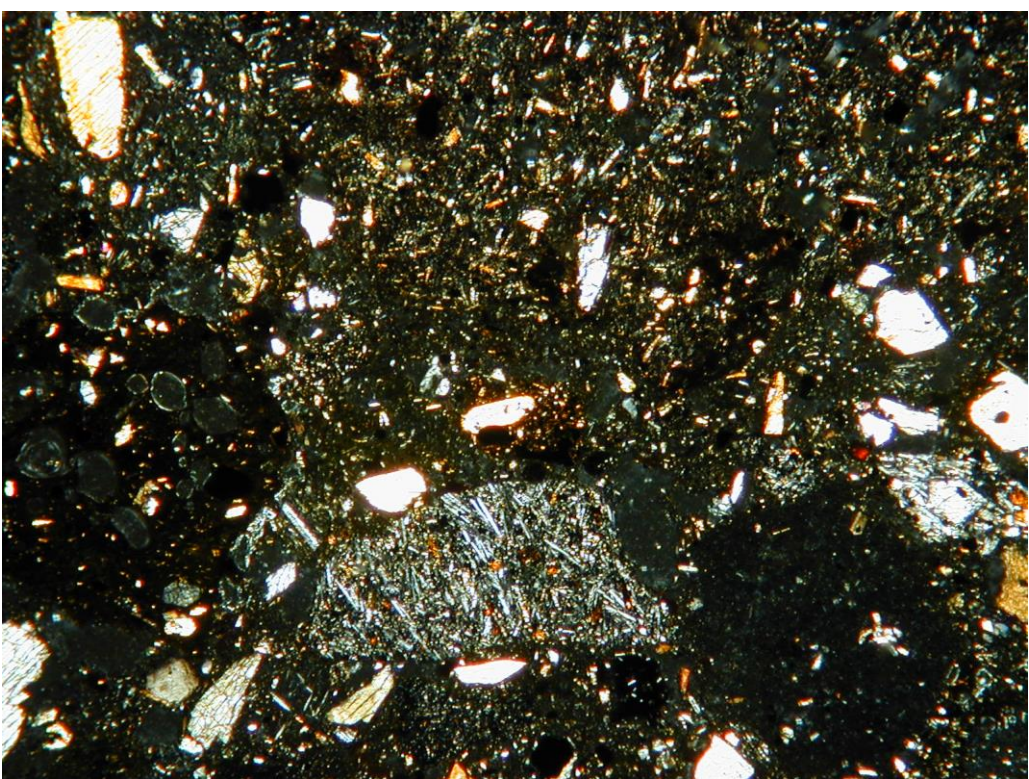
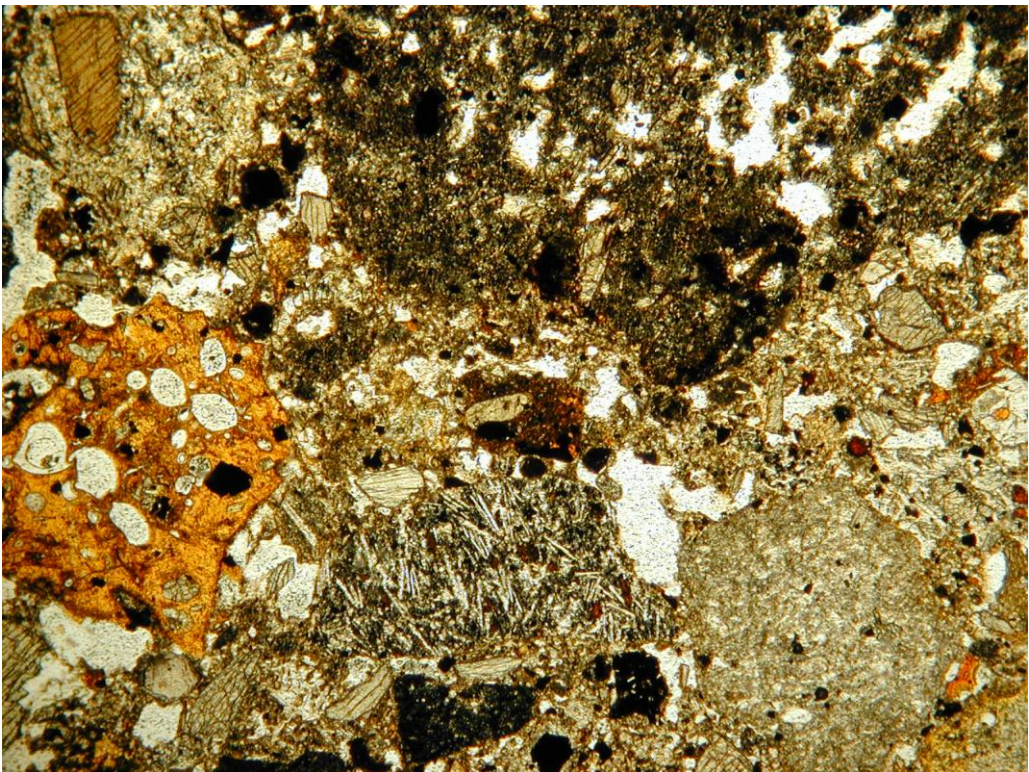
Foto: J.C Carracedo

FOTOGRAFÍA N° 41

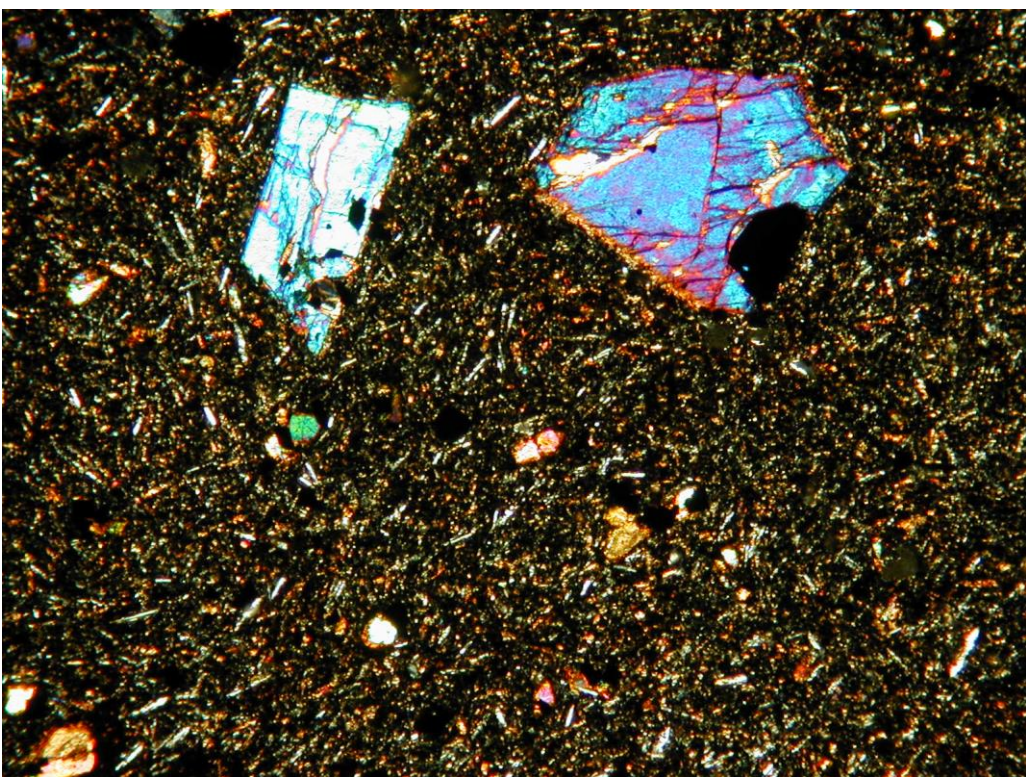
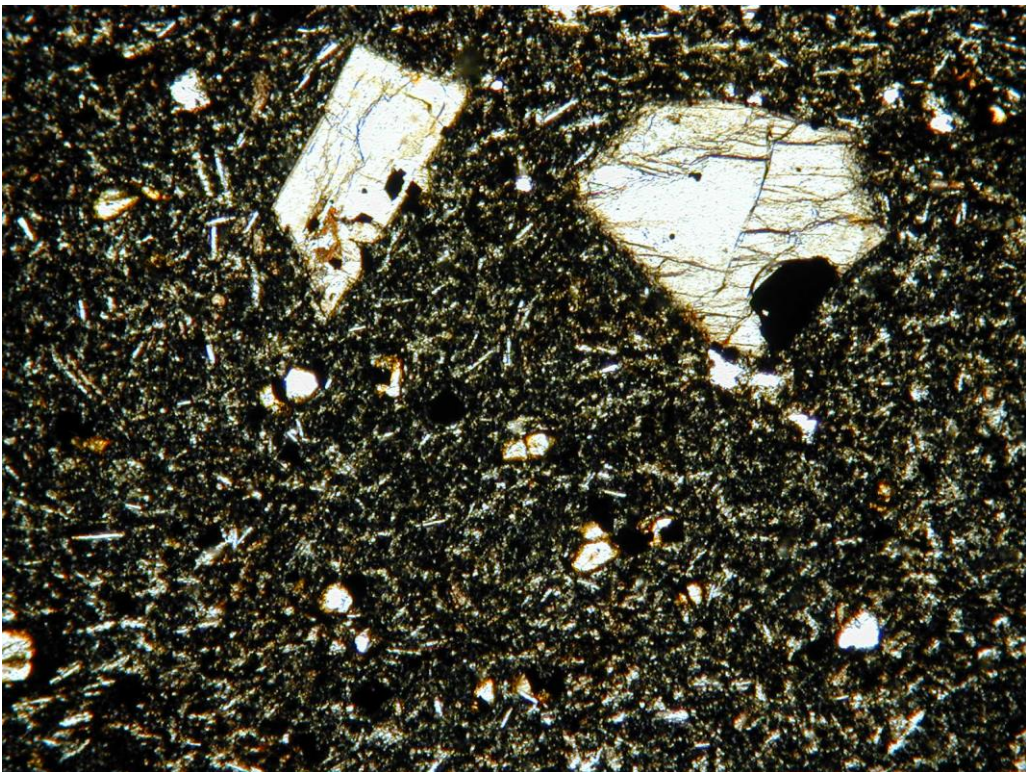


Foto: J.C Carracedo

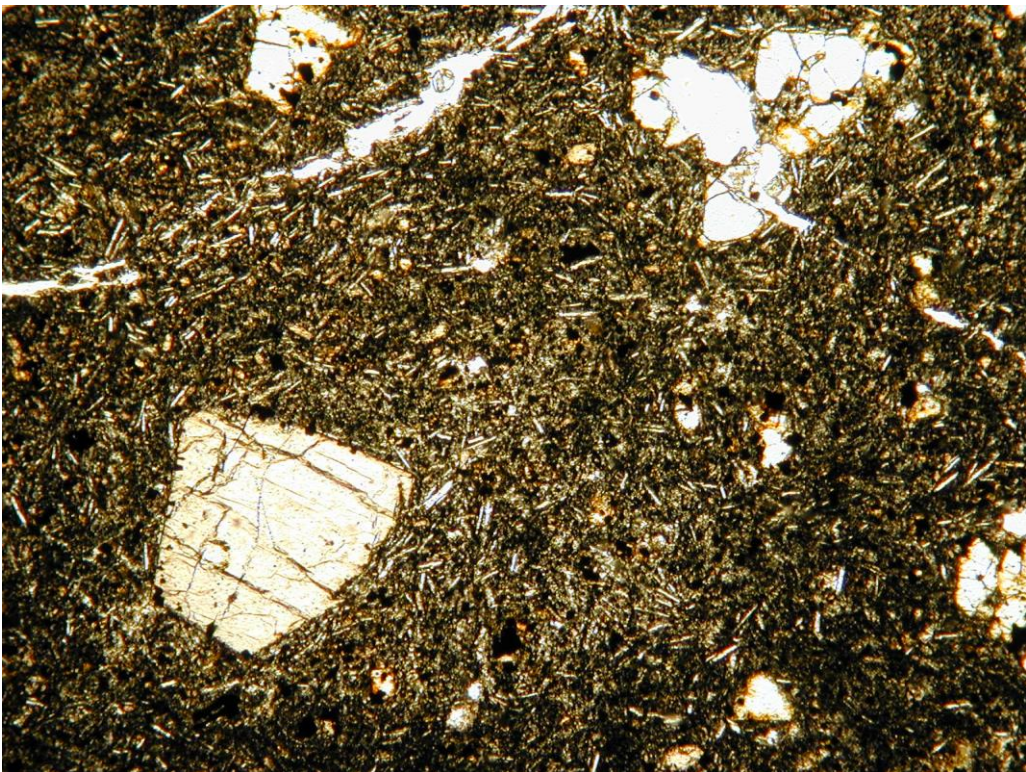
FOTOGRAFÍA N° 42



Fotografías petrografía 258 A y B: sedimento volcanoclastico



Fotografías petrografía 222 A y B: basalto augítico olivínico



Fotografías petrografía 223 A y B: basalto olivínico



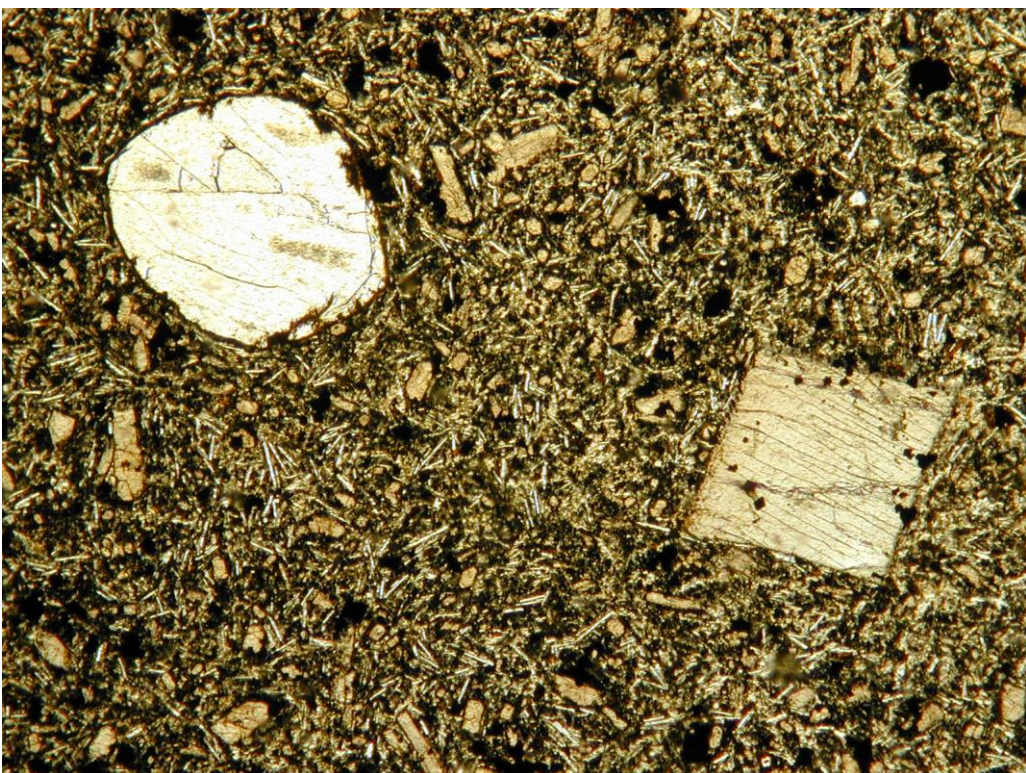
Foto: J.C Carracedo

FOTOGRAFÍA N° 43

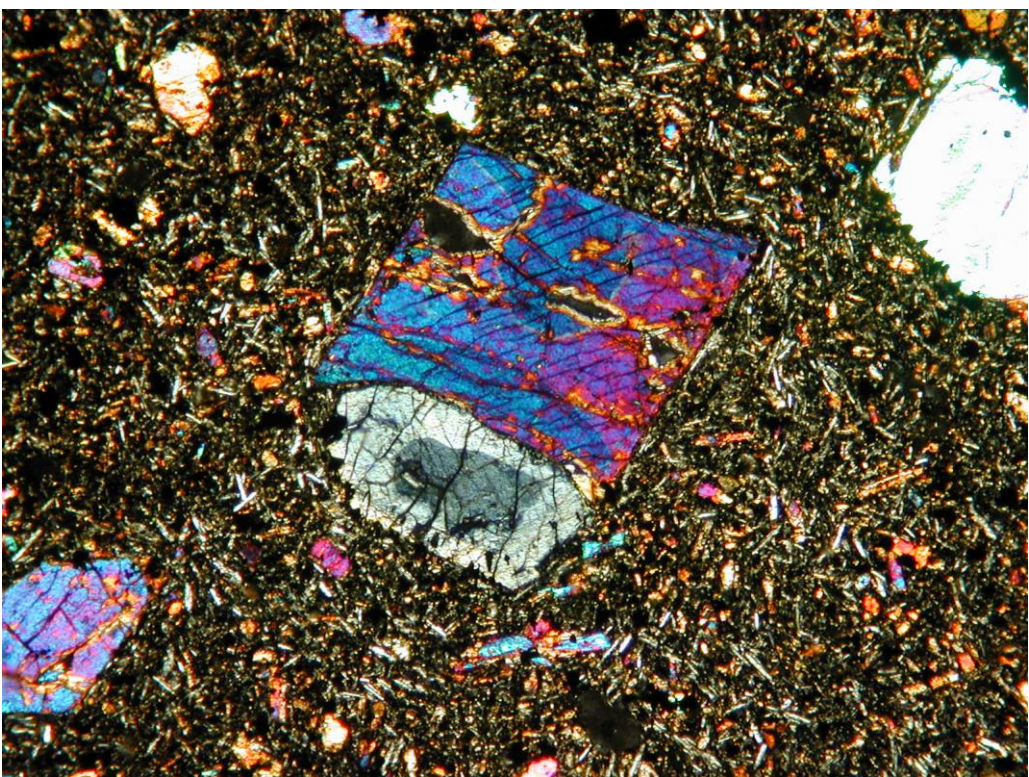


Foto: J.C Carracedo

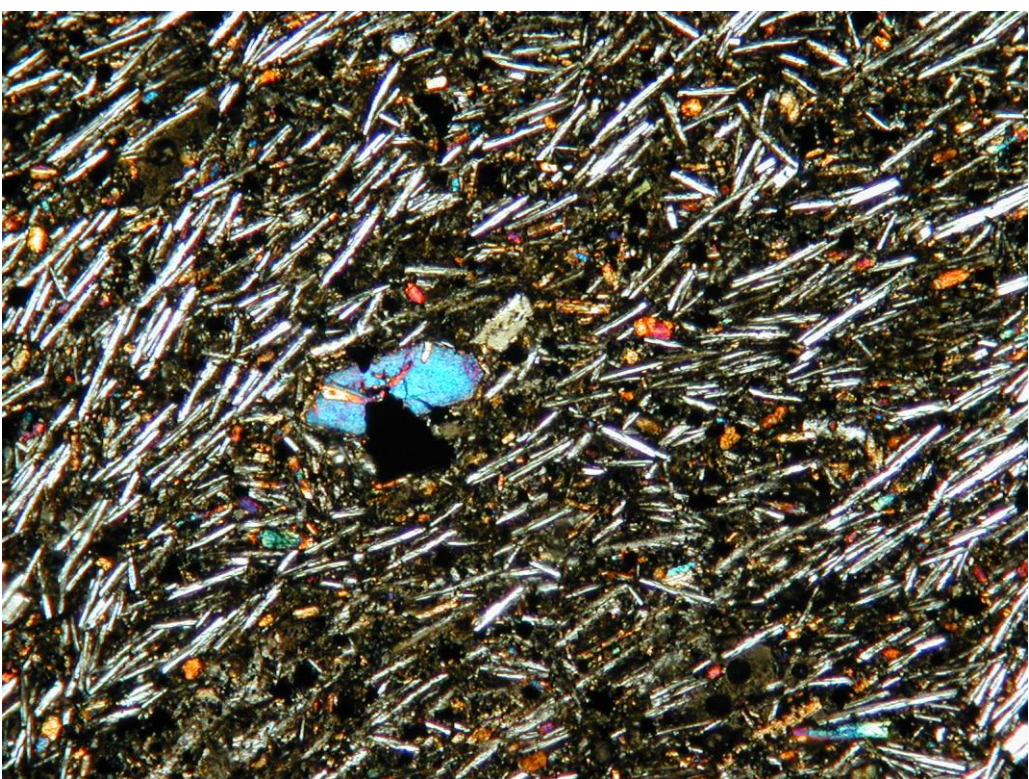
FOTOGRAFÍA N° 44



Fotografías petrografía 218 A y B: basalto augítico olivínico



Fotografías petrografía 219 A y B: basalto augítico olivínico



Fotografías petrografía 124 A y B: basalto piroxénico afírico

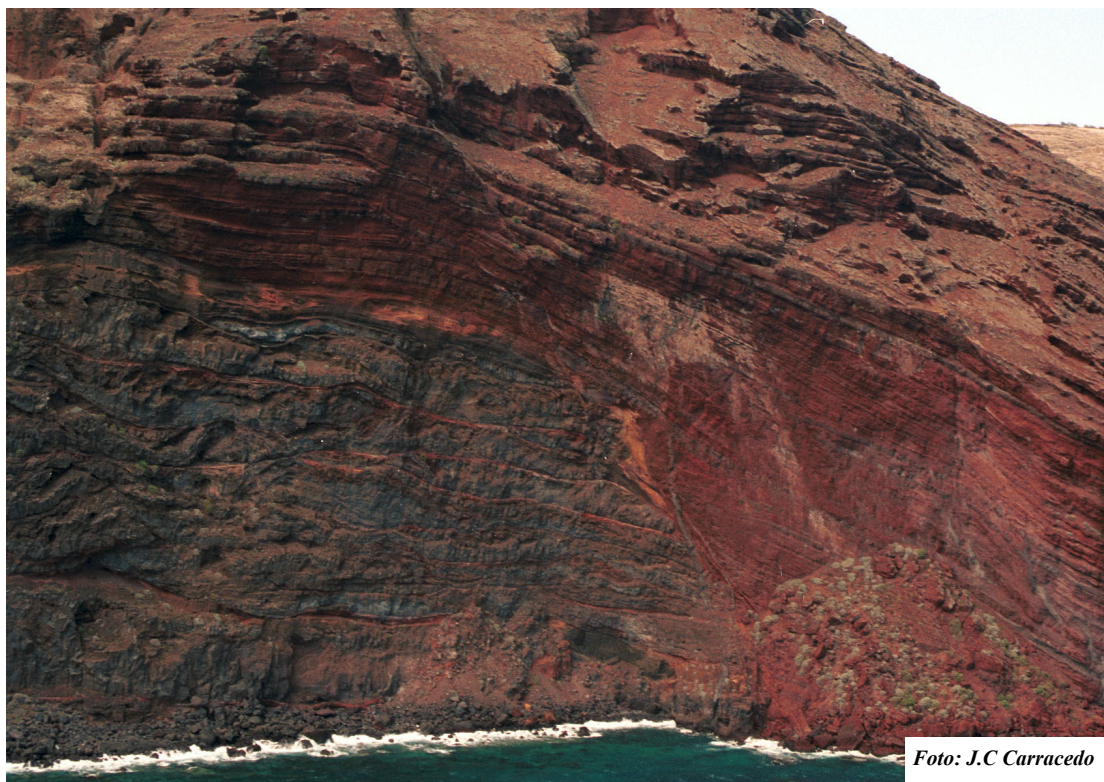


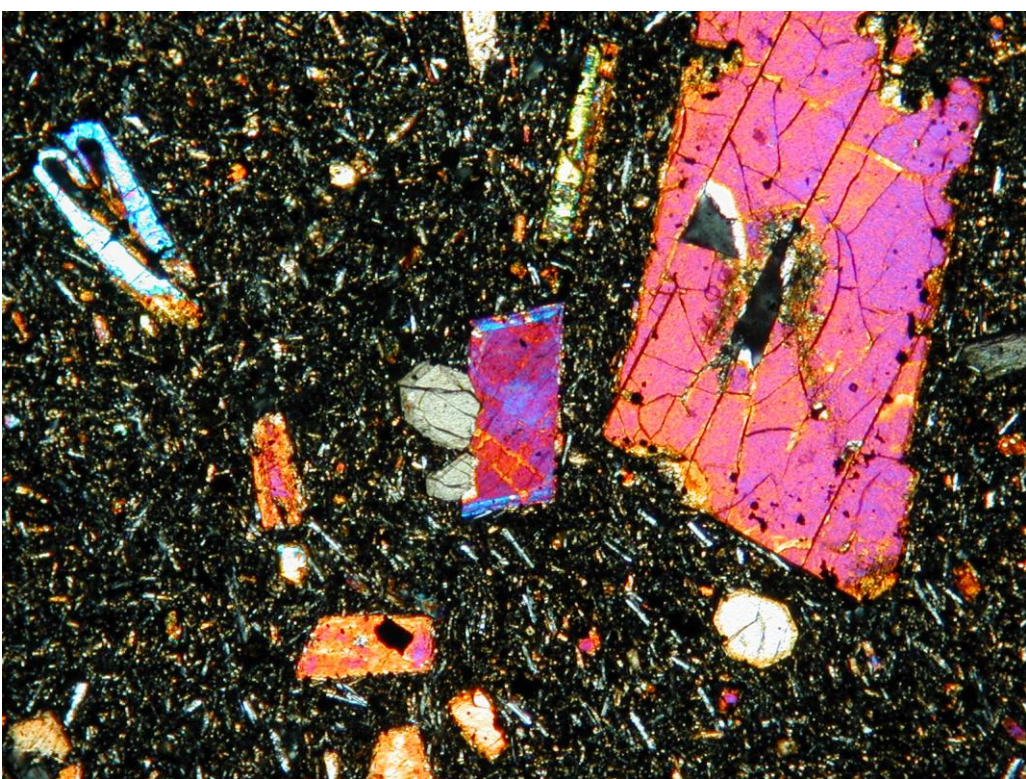
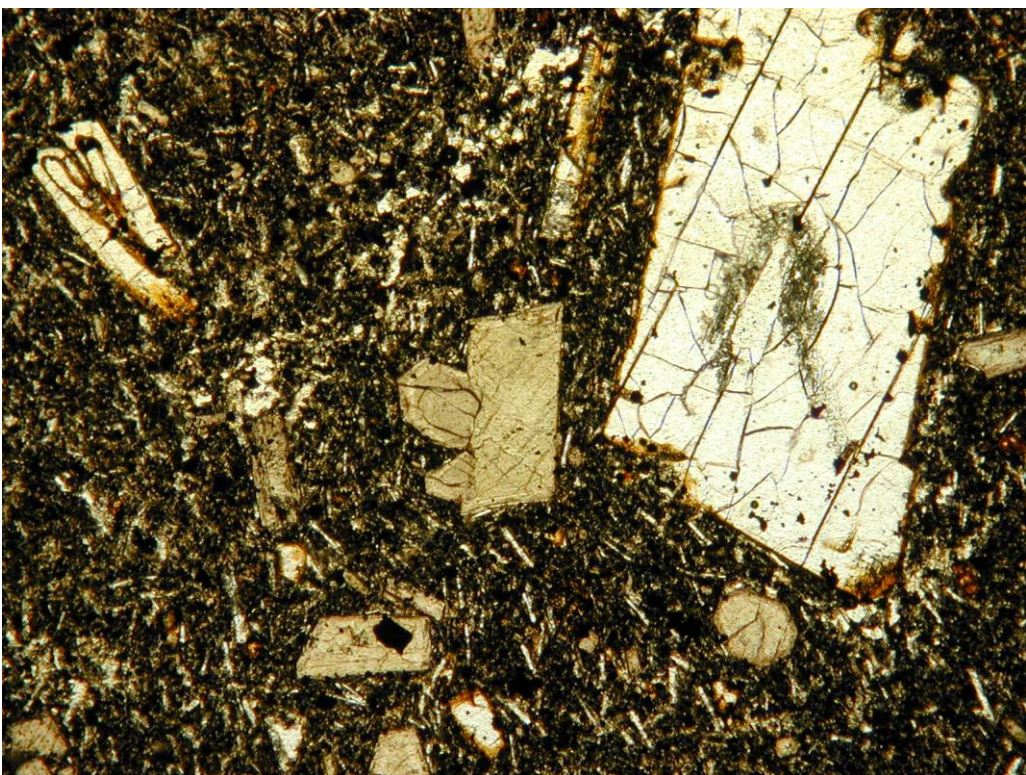
Foto: J.C Carracedo

FOTOGRAFÍA N° 45

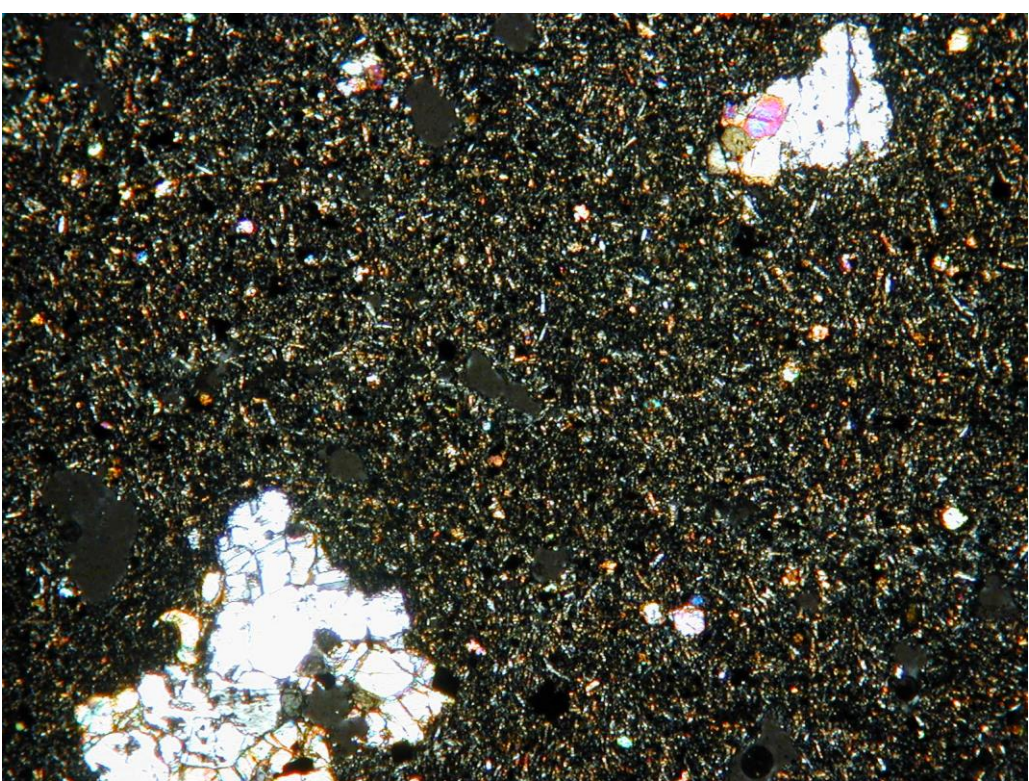
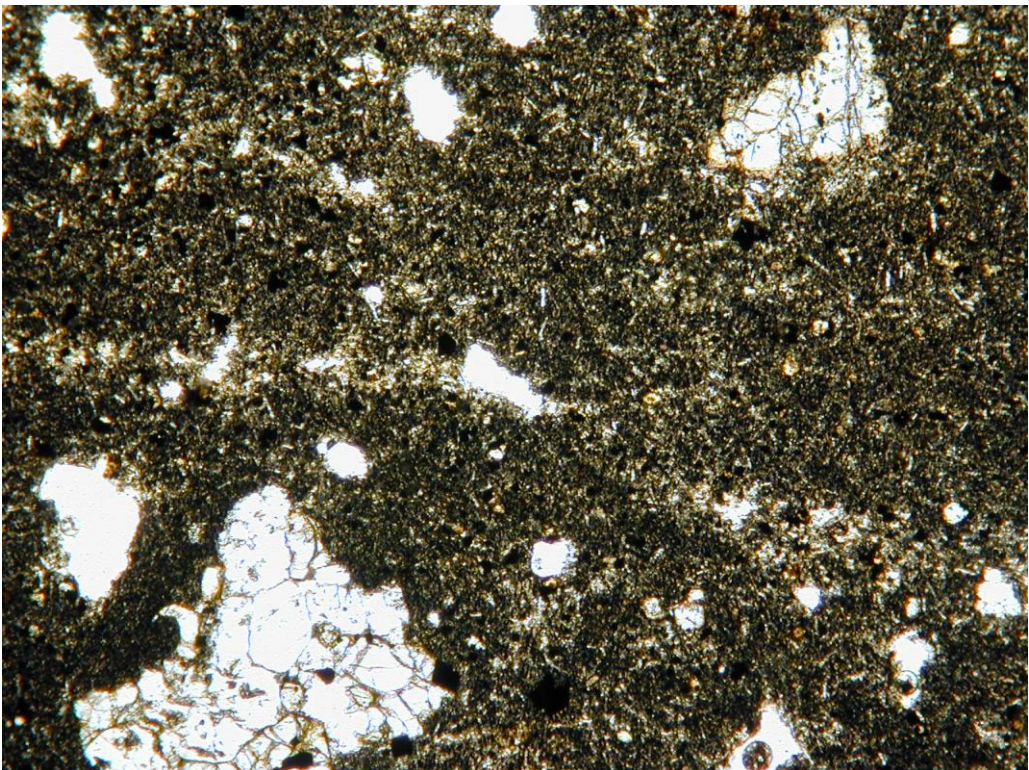


Foto: J.C Carracedo

FOTOGRAFÍA N° 46



Fotografías petrografía 160 A y B: basalto augítico olivínico



Fotografías petrografía 248 A y B: basalto olivínico piroxénico



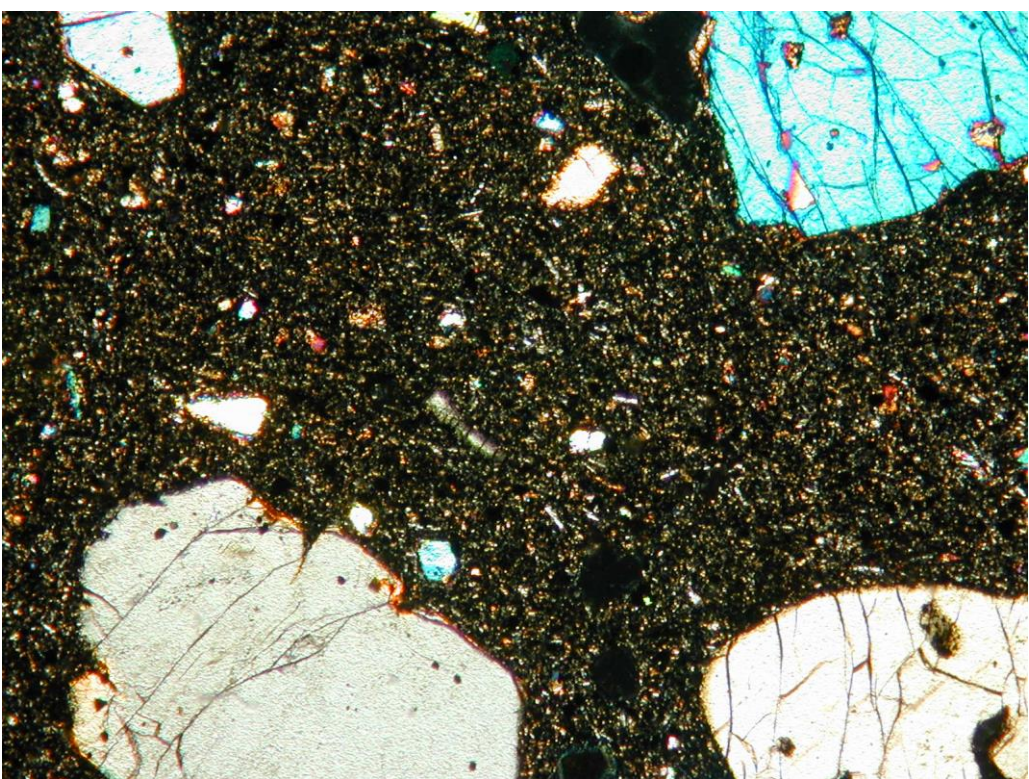
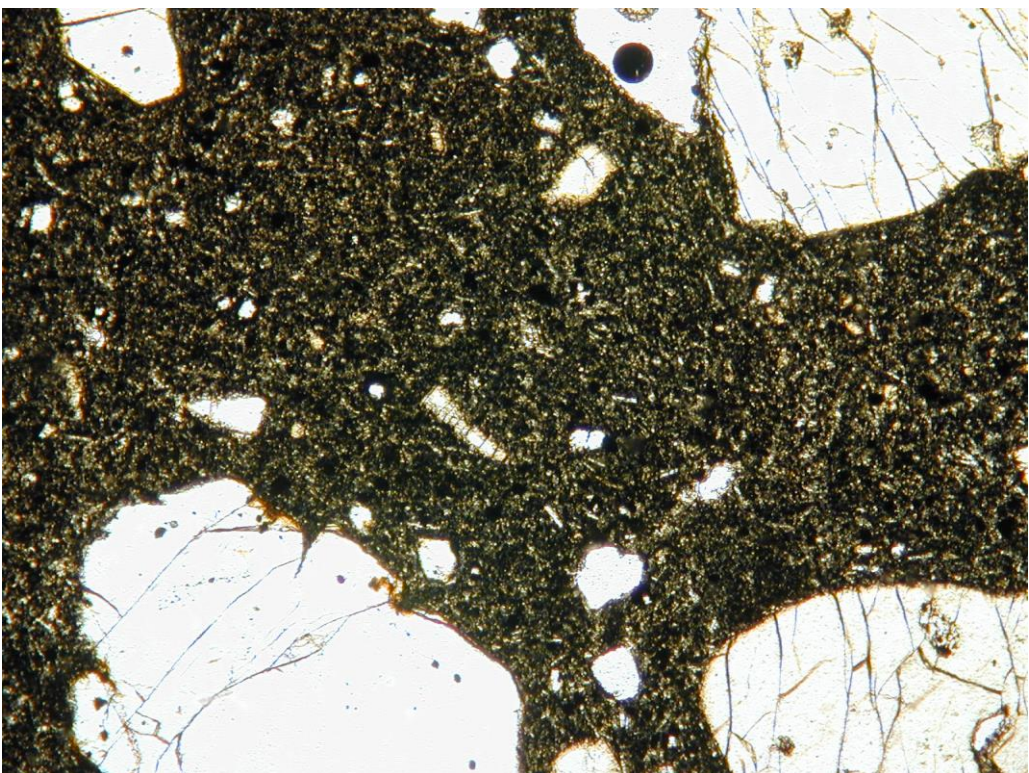
Foto: J.C Carracedo

FOTOGRAFÍA N° 47



Foto: J.C Carracedo

FOTOGRAFÍA N° 48



Fotografías petrografía 203 A y B: basalto augítico olivínico